

IR  
2

de Historie v/d Radic



Buchreihe Elektronik

143

Hans Gath

# Triacs und Diacs in Theorie und Praxis



**Buchreihe Elektronik 143**

**BIBLIOTHEEK  
N.V.H.R.**

**Hans Gath**

**Triacs und Diacs**  
in Theorie und Praxis

**Frech-Verlag Stuttgart**

**Der Verlag bittet zu beachten:**

Unsere Veröffentlichungen von Schaltungen und Verfahren erfolgen ohne Rücksicht auf bestehende Patente, da sie nur für Amateur- und Lehrzwecke bestimmt sind. Eine gewerbliche Nutzung ist ausdrücklich untersagt.

Trotz sorgfältiger Überprüfung aller Schaltungen und Angaben durch Verfasser und Verlag lassen sich Fehler nie ganz vermeiden. Der Verlag kann deshalb weder eine Garantie für Fehlerlosigkeit noch die juristische Verantwortung oder irgendeine Haftung übernehmen.

Verfasser und Verlag sind für Hinweise auf Fehler sowie für Verbesserungs- oder Ergänzungsvorschläge dankbar.

ISBN 3-7724-0374-3

Art.-Nr. 143

© 1979

**frech-verlag**

GmbH + Co. Druck KG Stuttgart

Wissenschaftl. Assistenz: Prof. O. Kilgenstein

## Inhalt

### A Vereinfachte Theorie

1. Die Vierschichtdiode .....	8
1.1. Aufbau und Wirkungsweise der Vierschichtdiode .....	8
1.2. Elektrische Eigenschaften der Vierschichtdiode .....	10
1.3. Anwendung der Vierschichtdiode .....	10
2. Der Diac .....	13
2.1. Der Diac .....	13
2.1. Aufbau und Wirkungsweise des Diacs .....	13
3. Der Triac .....	14
3.1. Aufbau, Wirkungsweise und elektrische Eigenschaften des Triacs .....	14
3.2. Herstellung von Triacs .....	16
3.3. Zündmöglichkeiten des Triacs .....	18
3.3.1. Die Gleichspannungs-Zündung .....	18
3.3.2. Die Wechselfspannungs-Zündung .....	18
4. Die Thyristortetrode und der PUT .....	19
5. Daten, Vergleichstabellen und Sockelschaltungen von Triacs .....	21

### B Praktische Schaltungen

1. Funktionsprüfer für Triacs .....	26
2. Automatischer Dimmer .....	27
3. Treppenhausautomat .....	30
4. Triac-Blinker .....	32
5. Einfache Phasenanschnittsteuerung .....	34
6. Leistungskippstufe .....	36
7. Hysteresefreie Triac-Vollwegsteuerung .....	38
8. Drehzahlstabilisierung .....	40
9. Lichtdimmer .....	42
10. Einstellbarer Zeitgeber .....	43
11. Automatischer Helligkeitsregler .....	46
12. Blinkerschaltung mit einer Lampe .....	48
13. Blinkerschaltung mit Unijunctionstransistor .....	50
14. Einfache Lichtorgel .....	52
15. Elektronisches Kaminfeuer .....	54
16. Netzbetriebene Blinkerschaltung .....	56
17. Helligkeitssteuerung bei verschiedenen Zündwinkeln .....	58
18. IC-Dämmerungsschalter .....	60
19. Überwachungsschaltung mit IC .....	61
20. Ein-Aus-Berührungsschalter mit IC .....	63



## Vorwort

Triacs und Triggerdioden (Vierschichtdioden und Diacs) sind im Gegensatz zum analog steuerbaren Transistor digitale Bauelemente, die somit nur zwei elektrische Zustände kennen (leitend oder gesperrt). Sie sind damit zum Ein- und Ausschalten von größeren Leistungen geeignet und bieten dabei einige Vorteile.

Die Steuerleistung wird nur beim Einschalten und Zünden benötigt. Damit ist die Verstärkung dieser Bauelemente theoretisch unendlich groß.

Da im leitenden Zustand die Durchlaßverluste relativ gering sind, besitzen diese Bauelemente einen hohen Wirkungsgrad. Damit ist ein kompakter Aufbau des Bauelementes möglich. Die Sperrverluste sind gering und können bei Schaltungsauslegungen oft vernachlässigt werden.

Da die mechanischen Abmessungen sehr klein sind, gibt es heute Geräte auf dem Markt, die früher nicht realisiert werden konnten. Es sind dies z.B. Helligkeitsregler für

Lampen, die in eine normale Schaltdose (55 mm Ø) passen oder Drehzahlregler für Handbohrmaschinen im Handgriff der Maschine.

Genauso wie bei Siliziumgleichrichtern ist auch beim Triac der aktive Teil ein kleines Siliziumplättchen mit sehr geringer Wärmekapazität. Es sind daher Überlastschutz-Elemente vorzusehen, die den Triac im Fall einer Überlastung vor Beschädigung schützen.

Alle Schaltungen wurden vom Verfasser selbst aufgebaut und nachgemessen. Es soll damit ein sicherer Nachbau gewährleistet werden. Grundsätzlich können alle im Handel erhältlichen äquivalenten Bauelemente eingesetzt werden. Es ist jedoch zu empfehlen, daß sich der Leser wenigstens die Halbleiterbauelemente alle neu besorgt. Oft schleichen sich Fehler ein, wenn defekte Bauteile aus der Bastelkiste verwendet werden.

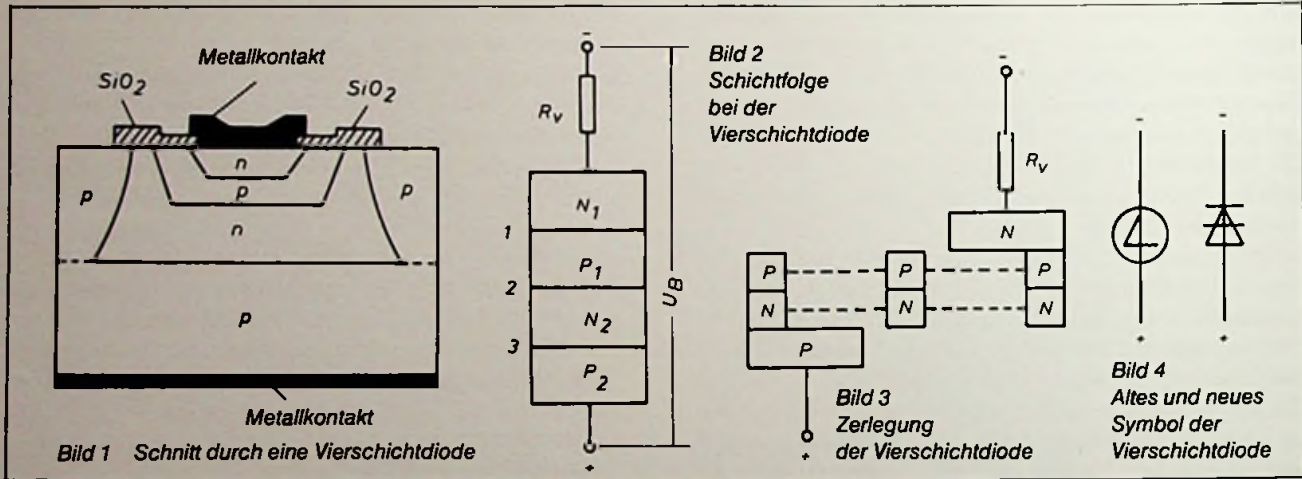
# A Vereinfachte Theorie

## 1. Die Vierschichtdiode

Vierschichtdioden gab es erstmals 1960 auf dem Markt. Ihr Erfinder war Shokley. Sie werden daher oft auch Shokley-Dioden genannt. Vierschichtdioden besitzen eine Schalt- und eine Sperrichtung und werden als Impuls-generatoren zum Ansteuern von Thyristoren verwendet. Nach DIN 41786 und 41855 werden sie als rückwärts-sperrende Thyristordiode bezeichnet.

## 1.1. Aufbau und Wirkungsweise der Vierschichtdiode

Ein kleines Einkristallsiliziumplättchen ist der aktive Teil der Vierschichtdiode. Durch Diffusion wird in diesem Siliziumplättchen die Zonenfolge P-N-P-N erzeugt. Somit ergeben sich vier Schichten mit unterschiedlicher Leitfähigkeit, die durch drei PN-Übergänge (Sperrschichten) voneinander getrennt sind. Das Bild 1 zeigt den Schnitt durch eine Vierschichtdiode, das Bild 2 die Schichtfolge und das Bild 3 die Zerlegung der Vierschichtdiode in zwei Transistoren und eine Diode. Das alte und neue Symbol der Vierschichtdiode ist in Bild 4 dargestellt.



Wird über den Widerstand  $R_v$  (siehe Bild 2) eine Spannung mit Plus an die Schicht  $P_2$  und mit Minus an die Schicht  $N_1$  angelegt, so sind die PN-Übergänge 1 und 3 in Durchlaßrichtung und der PN-Übergang 2 in Sperrichtung gepolt. Es fließt nur ein sehr geringer Strom (Sperrstrom). An der Sperrschicht 2 fällt die gesamte Betriebsspannung  $U_B$  ab.

Die Vierschichtdiode entspricht in diesem Fall einer in Sperrichtung betriebenen Siliziumdiode. Beim Erhöhen der angelegten Spannung tritt bei einem bestimmten Spannungswert (Schaltspannung) am vorher gesperrten PN-Übergang 2 ein Lawinendurchbruch auf. Er wird durch die an der Sperrschicht herrschende Feldstärke verursacht. Die wenigen in der Sperrschicht vorhandenen frei beweglichen Elektronen werden stark beschleunigt. Sie schlagen dann weitere Elektronen aus ihrer Gitterbindung heraus. Die Ladungsträgerdichte in der Sperrschicht 2 steigt an. Auch der fließende Strom erfährt dabei einen lawinenartigen Anstieg. Aus der Schicht  $P_1$  werden Defekt-elektronen und aus der Schicht  $N_2$  Elektronen in die Sperrschicht 2 geliefert. Diese Sperrschicht wird schließlich mit Ladungsträgern überschwemmt.

Die Spannung bricht daraufhin an der Sperrschicht 2 zusammen und der Spannungsabfall an der Vierschichtdiode sinkt auf einen sehr kleinen Wert ab. Der durch die Vierschichtdiode fließende Strom wird praktisch nur noch vom Vorwiderstand  $R_v$  bestimmt. Die für die Vierschichtdiode typische Kennlinie ist in Bild 5 aufgezeigt.

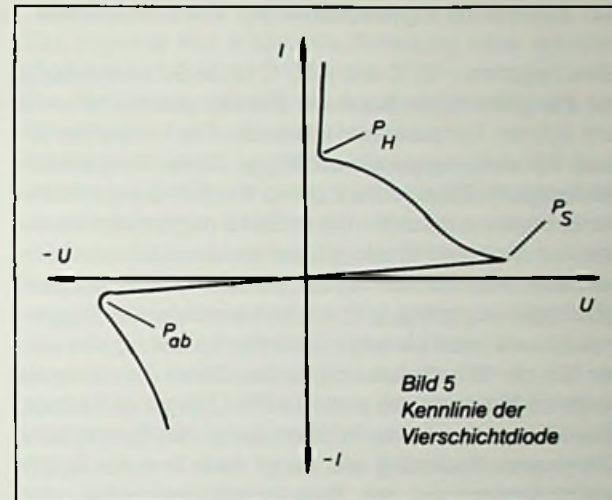


Bild 5  
Kennlinie der  
Vierschichtdiode

In diesem Diagramm sind die für die Vierschichtdiode charakteristischen Punkte eingetragen. Es sind dies:

der Schaltpunkt  $P_S$

der Haltepunkt  $P_H$

der inverse Abbruchpunkt  $P_{ab}$

Zwischen den beiden Punkten  $P_{ab}$  und  $P_S$  verhält sich die Vierschichtdiode wie zwei gegeneinander geschaltete Siliziumdioden (Sperrverhalten). Im Bereich zwischen den Punkten  $P_S$  und  $P_H$  wirkt sie jedoch wie ein stromabhängiger Widerstand. Ab dem Punkt  $P_H$  verhält sie sich wie eine Siliziumdiode im Durchlaßbereich.

## 1.2. Elektrische Eigenschaften der Vierschichtdiode

Etwa zwischen  $-10^{\circ}\text{C}$  und  $+50^{\circ}\text{C}$  ist die Schaltspannung der Vierschichtdiode konstant. Sie fällt nur bei höheren und tieferen Temperaturen etwas ab. Der Haltestrom jedoch ist stark temperaturabhängig. Diese Temperaturabhängigkeit läßt sich durch geeignete Schaltdimensionierungen verhindern. Die in Bild 5 dargestellte Kennlinie der Vierschichtdiode gilt nur für die statischen Verhältnisse. Wird nämlich an die Vierschichtdiode plötzlich eine Spannung gelegt (z. B. ein steil ansteigender Triggerimpuls), so zündet sie schon bei einer Spannung, die kleiner als die Schaltspannung  $U_s$  ist. Diese Tatsache ist durch die Kapazität des mittleren PN-Übergangs bedingt. Diese Kapazität ist eine Funktion der an der Sperrschicht anliegenden Spannung und hängt noch von der Sperrschichtabmessung, der Dielektrizitätskonstanten des Halbleitermaterials und vom Störstellengradienten in der Grenzschicht ab.

## 1.3. Anwendung der Vierschichtdiode

### 1.3.1. Der Impulsverstärker

Das Bild 6 zeigt einen Impulsverstärker im Prinzip.

Die Vierschichtdiode  $D_1$  wird durch einen Triggerimpuls gezündet; damit wird sie niederohmig und bleibt solange

in diesem Zustand, bis der Haltestrom unterschritten wird. Über den Widerstand  $R_1$  liegt die Vierschichtdiode an der Betriebsspannung  $-U_B$  an. Diese Betriebsspannung ist niedriger als ihre Schaltspannung.  $R_1$  muß dabei so gewählt werden, daß der durch ihn fließende Strom in jedem Fall kleiner als der Haltestrom ist. Wird nun an den Eingang E ein positiver Impuls mit genügend großer Amplitude angelegt, so zündet über den Kondensator  $C_1$  die Vierschichtdiode  $D_1$ . Jetzt wird über den Widerstand  $R_2$  der Kondensator  $C_2$  entladen. Damit wird der Haltestrom durch die Vierschichtdiode unterschritten und diese gelöscht. Am Ausgang der Schaltung (Punkt A) entsteht beim Zünden der Vierschichtdiode  $D_1$  ein positiver Impuls in Höhe der Versorgungsspannung. Wird die Diode  $D_2$  durch eine Vierschichtdiode ersetzt, so kann der Impulsverstärker mit positiven und negativen Impulsen angesteuert werden. Bei positivem Eingangsimpuls zündet dann die obere Vierschichtdiode ( $D_1$ ), bei negativem Eingangsimpuls die untere ( $D_2$ ).

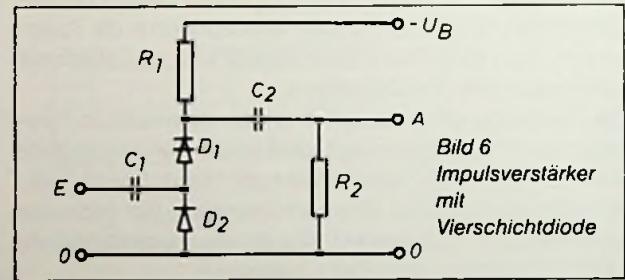
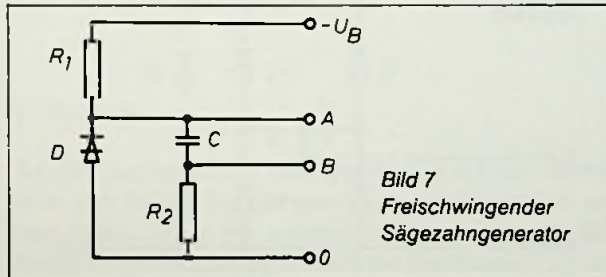


Bild 6  
Impulsverstärker  
mit  
Vierschichtdiode

### 1.3.2. Der Sägezahngenerator

Das Prinzipschaltbild Bild 7 zeigt einen freischwingenden Sägezahngenerator.

Der Kondensator C wird über die Widerstände  $R_1$  und  $R_2$  von der Betriebsspannung  $-U_B$  aufgeladen. Diese Spannung ist höher als die Schaltspannung der Vierschichtdiode D. Wird am Punkt A die Schaltspannung erreicht, so zündet die Vierschichtdiode. Über diese Spannung und den Widerstand  $R_2$  wird der Entladestrom des Kondensators auf den für die Vierschichtdiode D zulässigen Wert begrenzt. Am Punkt A der Schaltung wird die Sägezahnspannung abgenommen. Beim Zünden der Vierschichtdiode treten am Punkt B positive Impulse auf. Die Amplituden dieser Impulse entsprechen den Amplituden der Schaltspannung. Durch Verändern des Widerstandes  $R_1$  oder des Kondensators C oder durch gleichzeitiges Verändern von  $R_1$  und C, läßt sich die Frequenz des Sägezahngenerators ändern.

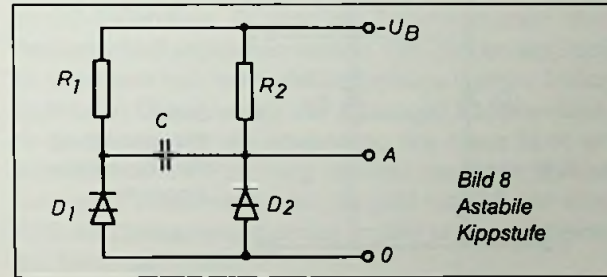


### 1.3.3. Die astabile Kippstufe

Das folgende Bild 8 zeigt die Schaltung einer astabilen Kippstufe.

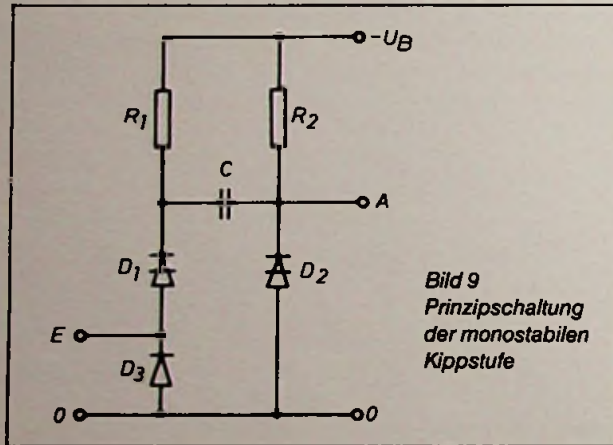
Die Versorgungsspannung  $-U_B$  ist hier höher als die Schaltspannung der Vierschichtdiode.

Die Widerstände  $R_1$  und  $R_2$  werden so gewählt, daß durch die Vierschichtdiode  $D_1$  und  $D_2$  ein Strom fließt, der größer als der Haltestrom ist. Nach dem Zünden der Vierschichtdiode  $D_1$  lädt sich der Kondensator C über  $R_2$  auf. Dieser Aufladevorgang dauert so lange an, bis die Schaltspannung von der Vierschichtdiode  $D_2$  erreicht ist.  $D_2$  zündet nun und die Vierschichtdiode  $D_1$  erhält über den Kondensator C einen hohen positiven Impuls. Damit wird der Haltestrom von  $D_1$  unterschritten. Die Vierschichtdiode  $D_1$  wird gelöscht.  $D_1$  zündet erst dann wieder, wenn sich der Kondensator C über  $R_1$  auf die Schaltspannung von  $D_1$  umgeladen hat. Nun beginnt der Vorgang in gleicher Weise wie bereits beschrieben von neuem abzulaufen.



### 1.3.4. Die monostabile Kippstufe

Das Bild 9 zeigt die Prinzipschaltung der monostabilen Kippstufe. Die Vierschichtdioden  $D_1$  und  $D_2$  sind so dimensioniert, daß die Schaltspannung der Vierschichtdiode  $D_1$  größer und die Schaltspannung von  $D_2$  kleiner als die Versorgungsspannung  $-U_B$  ist. Damit ist im Ruhezustand  $D_1$  gelöscht (Schaltspannung wird an  $D_1$  nicht erreicht) und  $D_2$  gezündet (Schaltspannung von  $D_2$  wird erreicht bzw. überschritten). Wird an den Eingang  $E$  der Schaltung ein positiver Impuls angelegt, so zündet  $D_1$ . Über den Kondensator  $C$  erhält damit die Vierschichtdiode  $D_2$  einen hohen positiven Impuls. Damit wird sie

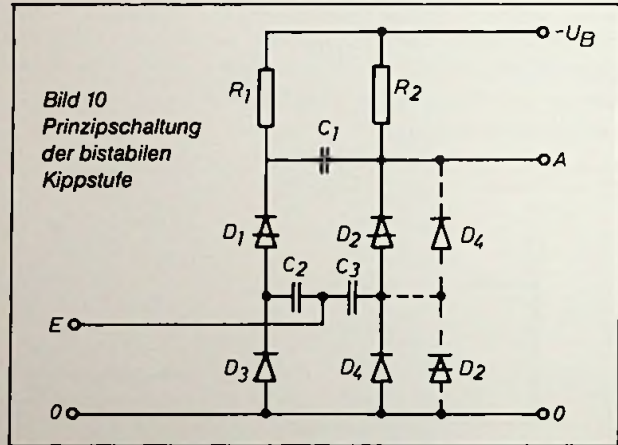


gelöscht. Der Ausgangszustand wird dann wieder erreicht, wenn sich der Kondensator  $C$  über den Widerstand  $R_2$  bis auf die Schaltspannung von  $D_2$  aufgeladen hat. Die Rückkippzeit der monostabilen Kippstufe wird durch  $C$ ,  $R_2$  und das Verhältnis der Versorgungsspannung  $-U_B$  zur Schaltspannung der Vierschichtdiode  $D_2$  bestimmt.

### 1.3.5. Die bistabile Kippstufe

Das Bild 10 zeigt die Prinzipschaltung der bistabilen Kippstufe.

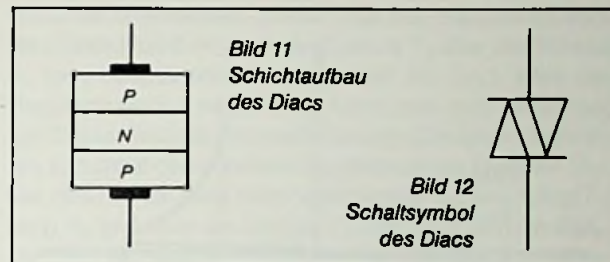
Die Schaltspannungen beider Vierschichtdioden  $D_1$  und  $D_2$  müssen größer als die Versorgungsspannung  $-U_B$  sein.



Die Widerstände  $R_1$  und  $R_2$  sind so auszulegen, daß der Haltestrom fließen kann. Zur Erläuterung der Funktion dieser Schaltung wird zunächst angenommen, daß  $D_1$  gezündet und  $D_2$  gelöscht ist. Der Kondensator  $C_1$  hat sich dann annähernd auf die Höhe der Versorgungsspannung aufgeladen. Gelangt nun an den Eingang E der Schaltung ein positiver Impuls, so wird  $D_2$  über  $C_3$  gezündet. Im gleichen Moment erhält die Vierschichtdiode  $D_1$  über den Kondensator  $C_1$  einen positiven Impuls und wird damit gelöscht. Beim darauffolgenden Impuls (am Eingang E) kippt die Schaltung wieder in den ursprünglichen Zustand zurück. Werden nun die Dioden  $D_2$  und  $D_4$  gegeneinander vertauscht (in Bild 10 gestrichelt dargestellt), so erhält man eine bistabile Kippstufe, die auf die Polarität der Triggerimpulse anspricht. Durch einen positiven Impuls wird die Vierschichtdiode  $D_1$  gezündet. Weitere darauffolgende positive Impulse lösen keinen Kippvorgang mehr aus. Erst ein negativer Impuls am Eingang E schaltet die Vierschichtdiode  $D_2$  ein. Erst durch einen positiven Eingangsimpuls ändert sich dieser Schaltzustand wieder.

## 2. Der Diac

Der Diac kam mit dem Triac gleichzeitig auf den Markt, da er sich für die Triac-Ansteuerung als erforderlich erwies. Diacs zeigen ein anderes Schaltverhalten als die Vierschichtdioden (bei symmetrischer Kennlinie).



### 2.1. Aufbau und Wirkungsweise des Diacs

Der Diac besteht aus drei Halbleiterschichten und zeigt in beiden Stromrichtungen Kippverhalten. Das Bild 11 zeigt den schematischen Aufbau des Diacs, das Bild 12 sein Schaltsymbol.

Zur Herstellung des Kristalls bedient man sich heute der Planartechnik. Den Diac selbst findet man heute meistens im DO-7-Gehäuse. Er kann als Transistorsystem ohne Basisanschluß angesehen werden. Das Zünden des Diacs ist somit praktisch ein Kollektordurchbruch eines Transistors beim Überschreiten der zulässigen Kollektor-Emitter-Spannung. Für die Anwendung des Diacs ist es erwünscht, daß die Spannung am Diac nach dem Zünden nicht ganz zusammenbricht. Sie geht lediglich auf etwa 75% der Zündspannung zurück. Im Bild 13 ist die Kennlinie des Diacs dargestellt.

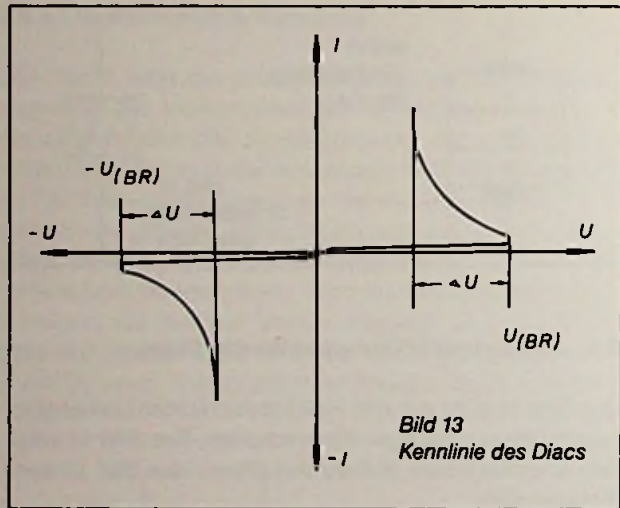


Bild 13  
Kennlinie des Diacs

### 3. Der Triac

Der Triac wurde 1966 unter dem Namen „Vollweg-Thyristor“ bekannt. In der DIN-Norm 41786 und 41855 ist der Name Triac für die Zweirichtungs-Thyristortriode als genormte Bezeichnung festgelegt. Er findet zum einen als stufenlose Steuerung der Leistungsaufnahme elektrischer Verbraucher durch Phasenanschnitt – oder Schwingungspaketsteuerung – und zum anderen als kontaktloser Ein- und Ausschalter von Verbrauchern Anwendung.

#### 3.1. Aufbau, Wirkungsweise und elektrische Eigenschaften des Triacs

Der Triac oder auch Zweiweg-Thyristor genannt, ist eine Weiterentwicklung des Thyristors und ist in Vollwegschaltungen wirtschaftlicher einzusetzen. Über eine einzige Steuerelektrode kann in beiden Stromrichtungen gezündet werden. Der schematische Aufbau des Triacs ist in Bild 14 gezeigt, das Schaltsymbol in Bild 15. Die Bezeichnung der Anschlüsse erfolgt nach DIN 41786. Die den Laststrom führenden Anschlüsse heißen Hauptanschluß 1 ( $H_1$ ) und Hauptanschluß 2 ( $H_2$ ), der Steueranschluß heißt Gate und ist dem Hauptanschluß 1 be-

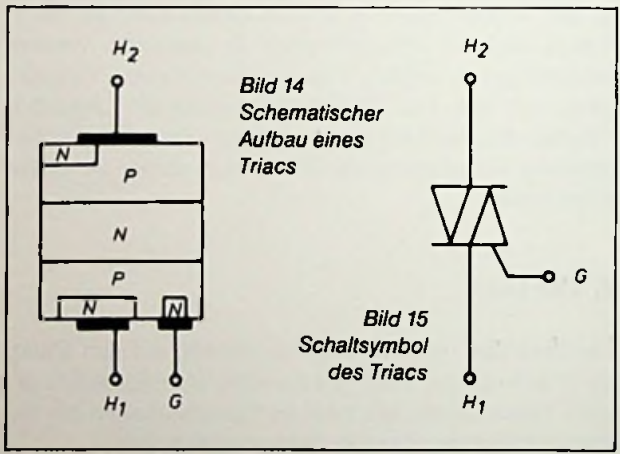


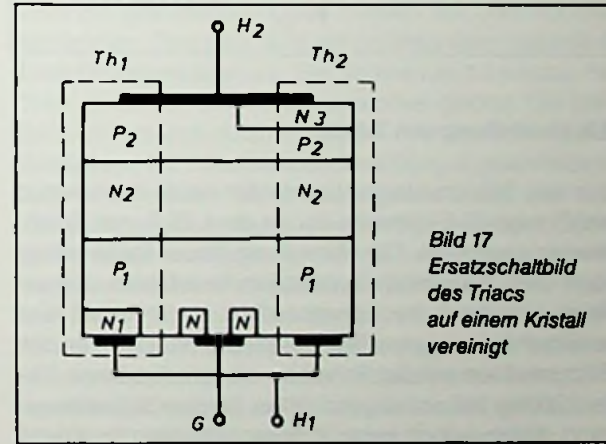
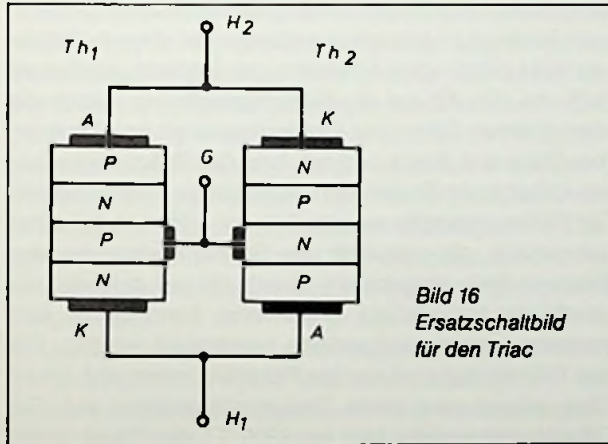
Bild 14  
Schematischer Aufbau eines Triacs

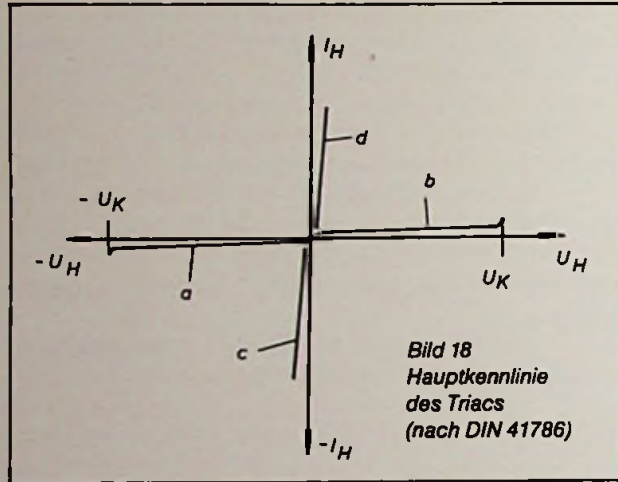
Bild 15  
Schaltsymbol des Triacs

nachbar angeordnet. Die Hauptanschlüsse  $H_1$  und  $H_2$  werden oft mit  $A_1$  bzw.  $A_2$  bezeichnet. Zur Verdeutlichung der Funktionsweise denkt man sich ein Kristall, das aus zwei Thyristorkristallen zusammengesetzt ist. Das Bild 16 zeigt diese Zusammensetzung. In Bild 17 ist die Vereinigung auf einem Halbleiterkristall dargestellt. Der linke Thyristor  $Th_1$  ist katodenseitig, der rechte Thyristor  $Th_2$  anodenseitig angesteuert (Bild 16). Es genügt also ein Steueranschluß. Der Hauptstrom fließt in beiden Richtungen immer durch die Schichtfolge P-N-P-N. Wird der Hauptanschluß 2 positiver, so verläuft der Zündvorgang wie bei einem katodenseitig gesteuerten, nach rückwärts sperrenden Thyristor. Der Zündstrom muß in die Steuer-

elektrode hineinfließen. Dabei fließt der Hauptstrom vom Hauptanschluß 2 ( $H_2$ ) von der Schicht  $P_2$  über die Schicht  $P_1$  zum Hauptanschluß 1 ( $H_1$ ) über  $N_1$  ( $Th_1$ ). Wird der Hauptanschluß 2 negativ, so kann man sich einen aus der Steuerelektrode herausfließenden Zündstrom vorstellen. Er zündet den anodenseitig gesteuerten Thyristor  $Th_2$ . Der Hauptstrom fließt dann vom Hauptanschluß 1 über  $P_1$  nach  $N_2$  und über die Schicht  $P_2$  zum Hauptanschluß  $H_2$ . Das Bild 18 zeigt die Hauptkennlinie des Triacs schematisch. Die Polaritätsangaben beziehen sich auf den Hauptanschluß 1.

Der Triac kann in beiden Richtungen mit Steuersignalen umgekehrter Polarität gezündet werden.





### 3.2. Herstellung von Triacs

Von den Silizium-Herstellern werden heute hochwertige stabförmige Si-Einkristalle bis zu etwa 76,2 mm Durchmesser angeboten. Die Herstellung dieser Stäbe erfolgt nach dem tiegelfreien Zonenschmelzverfahren. Neuerdings wird durch Neutronenbeschuß im Si-Kristall eine erwünschte homogene Grunddotierung erreicht. Von den Siliziumstäben werden Scheiben mit verschiedenen Dicken (200 bis 500  $\mu\text{m}$ ) abgeschnitten. Bei dem Schneidvorgang dürfen jedoch keine Volumenstörungen im Kristall

aufreten. Das Abschneiden erfolgt mit elektronisch gesteuerten Vollautomaten die überwiegend nach dem Innenlochsägeprinzip arbeiten. Die mit Diamant belegte Sägeschneide liegt an der Peripherie eines kreisförmigen Loches im Zentrum des Blattes. Die Schnittfläche muß möglichst rillen- und riefenfrei sein. Die sich beim Schneiden ergebenden feinen Rillen und Riefen werden mittels einer Ätzung fast restlos beseitigt. Die restlichen feinen Unebenheiten werden durch Polieren der Scheiben eliminiert.

Das gewünschte elektrische Verhalten des Halbleiterkristalls wird durch Dotierungsverfahren (Diffusionstechnik) erreicht. Dabei werden gezielt Störstellen in das Kristallgitter eingebaut. Zur Herstellung von Vielschichtstrukturen unterschiedlicher Leitfähigkeit im Silizium benutzte man früher das Legierungsverfahren. Bei diesem Verfahren wirkt örtlich eine Schmelze der Dotierungssubstanz (z. B. Au, Sb, Al) auf die Siliziumtablette ein. Durch die komplizierten Gate- und Emitterstrukturen von Thyristoren, Diacs und Triacs bedingt, fand das Diffusionsverfahren immer mehr Eingang in der Halbleiter-Prozßtechnik. Die Dotierungsstoffe werden bei der Diffusion bei einer Temperatur, die unterhalb der Schmelztemperatur des Siliziums liegt, eingebracht. Durch die auf der Siliziumoberfläche befindlichen Oxydmaske kann heute jede denkbare Schichtkonfiguration verwirklicht werden. Für den Diffusionsprozeß werden Rohröfen verwendet. Diese Öfen weisen eine große Temperaturkonstanz auf. Die Diffusionstemperatur liegt bei 1200  $^{\circ}\text{C}$ , die Diffusionszeit

bei ca. 40 Stunden. Während der Diffusion darf die Temperatur nur um  $\pm 0,5$  °C abweichen.

Ein neues Dotierungsverfahren ist die Ionenimplantation. Bei diesem Verfahren werden die Dotierungsstoffe in einem elektrischen Feld beschleunigt und mit sehr hoher Energie in den Kristall geschossen. Besonders eng begrenzte Dotierungsbereiche lassen sich mit diesem Verfahren leicht erreichen.

Die diffundierten Halbleiterplättchen müssen nach ihrer Fertigstellung zur Stromleitung eine metallische Schicht erhalten. Dazu wird das Silizium vernickelt. Die so erreichte dünne Schicht kann durch weitere Galvanik- oder Aufdampfschichten verstärkt werden. Daneben wurde das CVD-Verfahren (Chemical-Vapor-Deposition) entwickelt. Durch dieses Verfahren wird Wolfram durch chemische Reaktion aus der Dampfphase auf Silizium abgeschieden. Die so erreichte Dicke der Wolframschicht ist wesentlich größer wie die der galvanisch abgeschiedenen Ni-Schicht. Die fertigen Si-Scheiben müssen nach deren Fertigstellung noch zerteilt werden, um die einzelnen Thyristoren, Triacs und Diacs zu erhalten. Dazu bedient man sich verschiedener Verfahren. Es werden Gattersägen mit Diamantblättern verwendet oder Trennläppmaschinen. Bei den Trennläppmaschinen wird ein gespannt gehaltenes Lamellengatter mit einem Läppmittel auf der Si-Scheibe hin und her bewegt. Eine weitere Möglichkeit ist das Ritzen der Si-Scheibe mit einem Diamanten. Danach wird die geritzte Scheibe in Chips gebrochen. Als weitere Möglichkeit werden Drahtsägen verwendet. Hier wird ein mit Läpp-

mittel benetztes Drahtgitter über einen Rollenmechanismus bewegt. Beim Ultraschallbohren erhält man Rund-Chips. Dazu wird ein Bohrwerkzeug in Ultraschallschwingungen versetzt. Diese Schwingungen werden auf in Wasser aufgeschwämmte Borcarbidkörner übertragen. Das glasharte Silizium wird dann durch Zerspannen getrennt. Eine weitere Möglichkeit ist das Aisbrasive-Verfahren. Es handelt sich dabei um ein sandstrahlenähnliches Verfahren. In einem Behälter wird ein Gemisch von feinkörnigem Pulver und ein Trägergas hergestellt. Dieses Gemisch wird mit Ultraschallgeschwindigkeit auf die Si-Scheibe geblasen. Auch mit Ätzverfahren ist die Zerteilung der Si-Scheibe möglich. In der neuesten Technik wird zum Zerschneiden der Si-Scheibe der Laserstrahl eingesetzt. Die gewonnenen Chips müssen nun noch kontaktiert werden. Dies geschieht bei großflächigen Halbleitern durch Druckkontaktierung. Bei Strömen ab 5A werden die Chips direkt auf den Schraubensockel gelötet. Die Lötstelle wird danach durch eine glas- oder keramiksolierte Metallkappe mit Widerstandsschweißung abgeschlossen. Zum Verschweißen der Scheibengehäuse hat sich das Mikroplasma- und das Kaltschweißen bewährt. Beim Mikroplasmaschweißen werden die beiden aus dünnem Blech bestehenden Flansche unter Schutzgas verschmolzen. Beim Kaltschweißen werden die aus Kupfer bestehenden Flansche so fest aufeinander gepreßt, daß eine Kaltverschweißung der beiden Kupferbleche erfolgt. In neuester Zeit werden bei Bauelementen mit großer Leistung die Si-Plättchen direkt mit Kunstharz umpreßt.

### 3.3. Zündmöglichkeiten des Triacs

Prinzipiell gibt es drei Möglichkeiten, Triacs und Thyristoren zu zünden:

Zündung mit einer Gleichspannung bzw.  
mit einem Gleichstrom

Zündung mit einer Wechselspannung bzw.  
mit einem Wechselstrom

Zündung durch Impulse

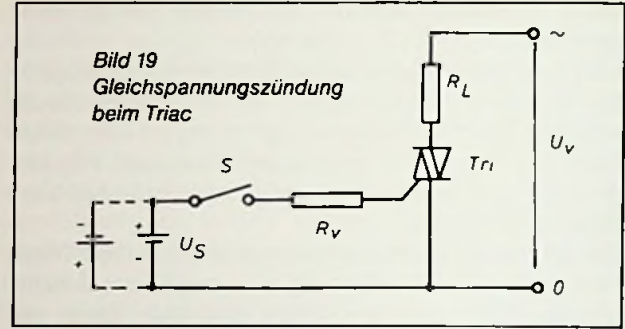
Welche Zündmethode gewählt wird, das hängt von der Art der Anwendung und dem Aufbau der Schaltung ab.

#### 3.3.1. Die Gleichspannungs-Zündung

Beim Zünden mit Gleichspannung wird über den Schalter  $S$  und den Vorwiderstand  $R_V$  die Gleichspannung direkt an das Gate gelegt. Das Bild 19 zeigt die Gleichspannungszündung beim Triac.

In der Schaltung nach Bild 19 kommt nur Wechselstrombetrieb in Frage, da Gleichstrombetrieb nicht sinnvoll ist. Wird der Schalter  $S$  geschlossen, so zündet der Triac zu Beginn jeder Halbwelle der Versorgungsspannung  $U_V$ . Durch den Lastwiderstand  $R_L$  fließt ein Vollwellenstrom. Wird der Schalter  $S$  geöffnet, so wird beim nächsten Nulldurchgang der Laststrom unterbrochen. Es ist gleichgültig, welche Polarität die Steuerspannung  $U_S$  hat.

Es ist jedoch wirtschaftlicher, mit negativer Steuerspannung zu arbeiten, da dabei der Steuerstrom am geringsten ist.



#### 3.3.2. Die Wechselspannungs-Zündung

Die Bilder 20 und 21 zeigen das Prinzip der Wechselspannungszündung.

Wird der Zündkreis, wie in Bild 21 dargestellt, nach dem Lastwiderstand angeschlossen, so fließt nur bis zum Zündmoment des Triacs ein größerer Gatestrom. Somit kann der Vorwiderstand  $R_V$  für eine kleine Leistung bemessen werden. Die in den Bildern 20 und 21 aufgezeigte Wechselspannungsstörung ist die einfachste Möglichkeit der Phasenanschnittsteuerung. Sie wird durch entsprechende Dimensionierung des Vorwiderstandes  $R_V$  verändert. Wird  $R_V$  größer, so wird der Steuerstrom kleiner und der erforderliche Wert des Zündstroms zu einem späteren Zeitpunkt während des Anstiegs der positiven Spannungswelle erreicht. Eine Verschiebung des Zündensatzes bis  $90^\circ$  kann so erreicht werden.

#### 4. Die Thyristortetrode und der PUT

Der Triac und der Thyristor können mittels eines Triggerimpulses gezündet werden. Sie können dann jedoch nicht mehr ohne weiteres gelöscht werden, es sei denn, der Haltestrom wird unterschritten. Bei der Thyristortetrode jedoch kann über ein zusätzliches Gate diese wieder gelöscht werden. Das Bild 22 zeigt das Schaltsymbol der Thyristortetrode. Allerdings kann diese Thyristortetrode nur für Kleinleistungsanwendungen herangezogen werden.

Das folgende Bild 23 zeigt die Ersatzschaltung einer Thyristortetrode, dargestellt durch einen pnp- und einen npn-Transistor.

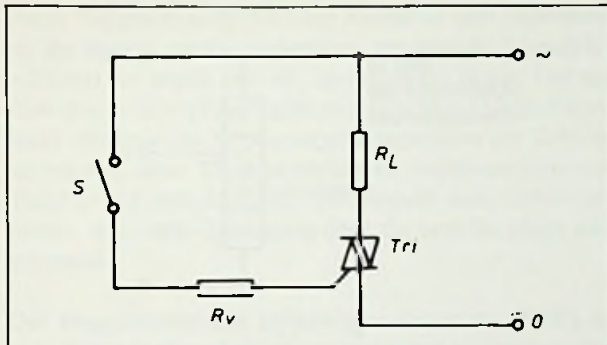


Bild 20 Wechselspannungszündung beim Triac, Gate-Vorwiderstand am Netz angeschlossen

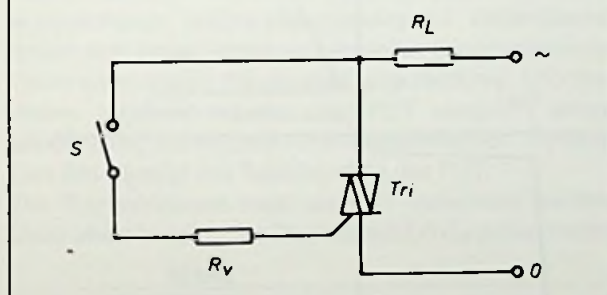


Bild 21 Wechselspannungszündung beim Triac, Gate-Vorwiderstand nach dem Lastwiderstand angeschlossen

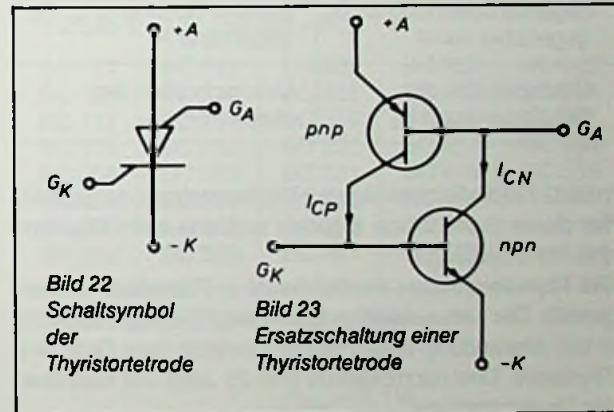


Bild 22 Schaltsymbol der Thyristortetrode

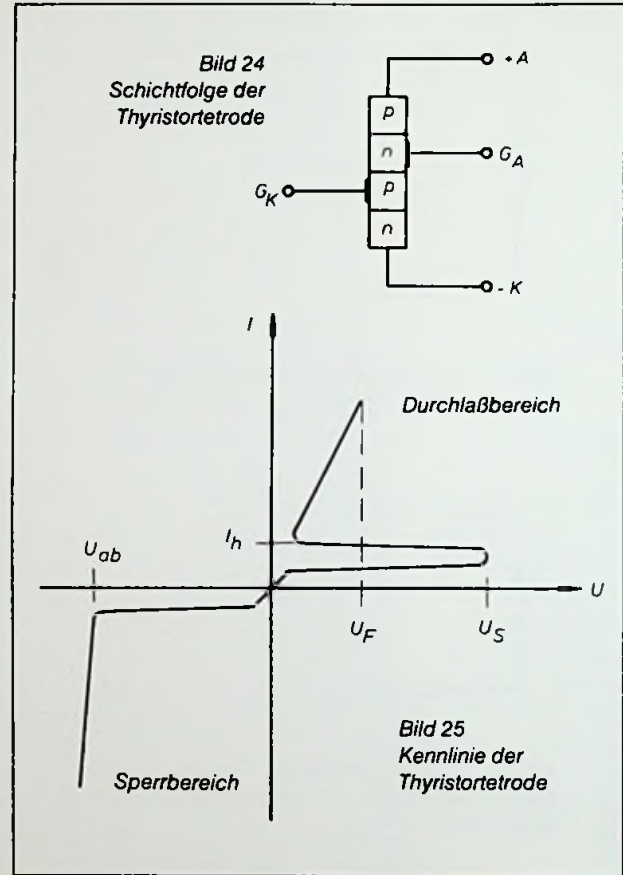
Bild 23 Ersatzschaltung einer Thyristortetrode

Liegt am Gateanschluß  $G_K$  eine gegenüber der Katode  $K$  positive Spannung, so wird der Thyristor (zwischen  $A$  und  $K$ ) leitend. Ist der Gateanschluß  $G_A$  negativ gegenüber der Anode, so zündet die Thyristortetrode ebenfalls. Der Kollektorstrom  $I_{CP}$  ist gleichzeitig der Basisstrom des NPN-Transistors und steuert diesen durch. Damit wird die gesamte Anordnung zwischen der Anode und der Katode leitend. Die nachfolgende Tabelle gibt Aufschluß über das Zünden und Löschen dieser Anordnung.

Thyristortetrode gezündet	Thyristortetrode gelöscht
positive Spannung an $G_K$ gegenüber von $K$	negative Spannung an $G_K$ gegenüber $K$
negative Spannung an $G_A$ gegenüber von $A$	positive Spannung an $G_A$ gegenüber $A$
Überschreiten der Schaltspannung $U_S$	Unterschreiten des Haltestroms $I_H$

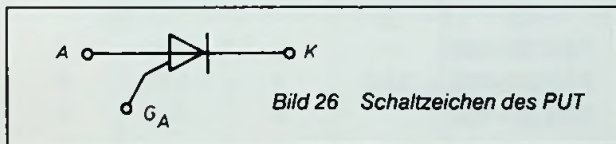
In Bild 24 ist die Schichtfolge der Thyristortetrode dargestellt. Bei dieser Schichtfolge ergeben sich wie beim Thyristor drei PN-Übergänge.

Die Thyristortetroden werden heute in Planartechnik hergestellt. Der katodenseitige Steueranschluß  $G_K$  entspricht in der Anwendung und in seiner Funktion dem Gate des Thyristors. Das nachfolgende Bild 25 zeigt die Kennlinie der Thyristortetrode.



Diese Kennlinie entspricht der Kennlinie des Thyristors. Ist die Anode positiv gegenüber der Katode (Vorwärtsrichtung), so ergibt sich ein Sperrbereich (linker Teil der Kennlinie) und ein Durchlaßbereich (rechter Teil der Kennlinie). Wird nun die Anode negativ gegenüber der Katode, so arbeitet diese Thyristortrode im negativen Sperrzustand (Rückwärtsrichtung). Es besteht kein Schaltverhalten, d. h. eine Steuerung über  $G_K$  und  $G_A$  bleibt wirkungslos.

Der Programmierbare Unijunktions-Transistor (PUT) ist ein Vierschichtbauelement und hat somit hinsichtlich des Aufbaues keine Ähnlichkeit mit einem normalen Unijunktions-Transistor. Die Bezeichnung Unijunktionstransistor ist nicht vom Aufbau, sondern von seiner Funktion abgeleitet. Durch entsprechende äußere Beschaltung mit Widerständen lassen sich einige Kenndaten einstellen (programmieren). Damit kann dieses Bauelement verschiedenen Erfordernissen angepaßt werden. Der PUT entspricht einem anodenseitig steuerbaren rückwärtssperrenden Thyristor. Das Bild 26 zeigt das Schaltzeichen des PUT. Die Thyristortrode kann als PUT verwendet werden. Dazu bleibt lediglich der Steueranschluß  $G_K$  unbeschaltet.



## 5. Daten, Vergleichstabellen und Sockelschaltungen

Universell einsetzbare Transistor-Typen für die im praktischen Teil angegebenen Transistoren

Tabelle I: NPN-Transistoren:

BC 107	BC 173	BC 238	BC 383	BC 548
BC 108	BC 182	BC 239	BC 384	BC 549
BC 109	BC 183	BC 317	BC 407	BC 582
BC 147	BC 184	BC 319	BC 408	BC 583
BC 148	BC 207	BC 347	BC 409	BC 584
BC 149	BC 208	BC 348	BC 413	
BC 171	BC 209	BC 349	BC 414	
BC 172	BC 237	BC 382	BC 547	

Tabelle II: PNP-Transistoren

BC 157	BC 213	BC 307	BC 352	BC 513
BC 158	BC 214	BC 308	BC 415	BC 514
BC 177	BC 251	BC 309	BC 416	BC 557
BC 178	BC 252	BC 320	BC 417	BC 558
BC 204	BC 253	BC 321	BC 418	BC 559
BC 205	BC 261	BC 322	BC 419	
BC 206	BC 262	BC 350	BC 512	
BC 212	BC 263	BC 351	BC 513	

Mindestforderungen:  $U_{CE} = 20 \text{ V}$   
 $I_C = 100 \text{ mA}$   
 $B = 100$   
 $P_{max} = 0,1 \text{ W}$

Tabelle III: Universell einsetzbare Siliziumdioden für die im praktischen Teil angegebenen Dioden

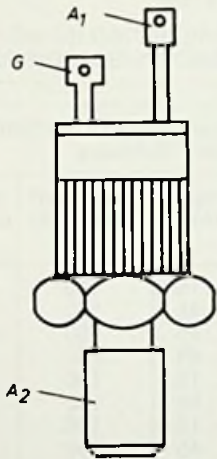
BA 127 BA 217 BA 218 BA 221	BA 222 BA 317 BA 318 BAX 13	BAY 61 1N 914 1N 4148	Mindestbedingungen: $U_R = 25 \text{ V}$ $I_{F\text{max}} = 100 \text{ mA}$ $I_{R\text{max}} = 1 \mu\text{A}$ $P_{\text{max}} = 250 \text{ mW}$
--------------------------------------	--------------------------------------	-----------------------------	---

Auszugsweise Typenübersicht für Triacs

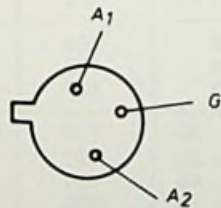
Type	Firma	Strom (A)	Spannung (V)	Anschlußbild Nr.
TXD 99 A20	Siemens	10	200	1
TXD 99 A40		10	400	1
TW 6 N 100		6	100	1
TW 6 N 400		6	400	1
TW 8 N 100		8	100	1
TW 8 N 400		8	400	1
TW 10 N 100		10	100	1
TW 10 N 400		10	400	1
TW 12 N 400		12	400	1
2 N 5754	RCA	2,5	100	2
2 N 5756		2,5	400	2
T 2313 A		1,9	100	2
T 2313 D		1,9	400	2
2 N 5569		10	200	1
2 N 5570		10	400	1
2 N 5574		15	400	1
T 6411 D		30	400	1

Auszugsweise Übersicht für Triacs (Fortsetzung)

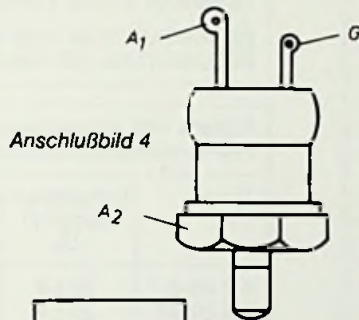
Type	Firma	Strom (A)	Spannung (V)	Anschlußbild Nr.
BT 138/500 BT 139/500 BTW 43/600	Valvo	10	500	3
		15	500	3
		15	600	4
TXC 01 A10 TXC 01 A40 TXD 98 A40	Siemens	6	100	5
		6	400	5
		15	400	1
T 2500 B T 2500 D T 2800 B T 2800 D	RCA	6	200	3
		6	400	3
		8	200	3
		8	400	3
TXC 01 E50 TXC 01 F50 TXC 03 E50 TXC 03 F50	Siemens	7,5	500	6
		7,5	500	6
		1	500	7
		1	500	7
TAG 261-500 TAG 241-500 TAG 271-500	TAG	6	500	6
		5	500	8
		8	500	4



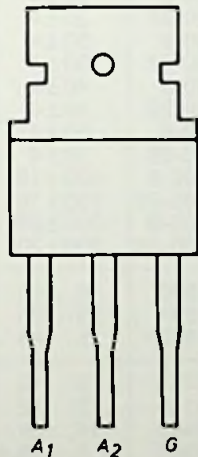
Anschlußbild 1



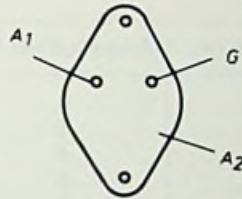
Anschlußbild 2



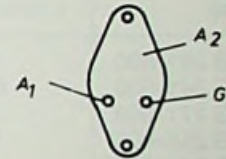
Anschlußbild 4



Anschlußbild 3



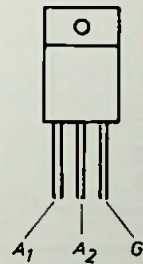
Anschlußbild 5



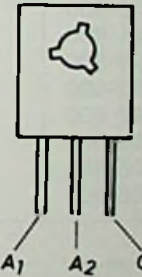
Anschlußbild 6



Anschlußbild 7



Anschlußbild 8



Anschlußbild 9

Bild 27 Sockelschaltungen von Triacs

Tabelle IV: Universell einsetzbare Typen für die im praktischen Teil verwendeten Triacs, den  $I_{Gmax}$  maximal 25 mA beträgt.

Type	Laststrom (A)	Anschlußbild Nr.
TAG 261-600	8	6
TAG 241-600	6,5	8
TAG 271-600	10	4
TAG 256-800	12	8
TAG 251-800	10	8
TAG 266-800	10	5
TAG 225-800	8	8
TAG 226-800	8	8
TAG 227-800	8	8
TAG 246-800	6,5	8
TAG 220-800	6	8
TAG 221-800	6	8
TAG 222-800	6	8
TAG 96-600	4	8
TAG 97-600	4	9
TAG 98-600	4	9
TAG 205-600	2,5	2
TAG 206-600	2,5	2

Tabelle V: Universell einsetzbare Typen für die im praktischen Teil verwendeten Diacs

A 9903	GT 40
ER 900	45 412

Tabelle VI: Ersatz-Typen für BD 135

BD 165/BD 175/BD 226/BD 233/BD 137/BD 167/BD 177/  
BD 228/BD 235/BD 139/BD 169/BD 179/BD 230/BD 237

Tabelle VIII: Auszugsweise Typenübersicht der Silizium PNP-Verschichtdioden im DO-7-Gehäuse

Type	Schaltspannung (V) $U_S$	Haltestrom (mA) $I_H$	Dauergleichstrom (mA) $I_F$	Hersteller
4 E 20-8	20±4	1...15	150	ITT und Tungram
4 E 20-28	20±4	14...45	150	
4 E 30-8	30±4	1...45	150	
4 E 30-28	30±4	14...45	150	
4 E 40-8	40±4	1...15	150	
4 E 40-28	40±4	14...45	150	
4 E 50-8	50±4	1...15	150	
4 E 50-28	50±4	14...45	150	
4 E 100-8	100±10	1...15	150	
4 E 100-28	100±10	14...45	150	
4 E 200-8	200±20	1...15	150	
4 E 200-28	200±20	14...45	150	
4 Ex 580	15...10	8	150	ITT, TU
4 Ex 581	25...35	8	150	
4 Ex 582	35...45	8	150	
1 N 5158	8...10	1...20	150	Motorola
1 N 5160	10...12	1...20	150	
1 N 3490	16...24	14...45	150	
1 N 3301	17,6...26,4	1...15	200	
1 N 3302	21,6...32,4	5...20	200	
1 N 3304	26,4...39,6	5...20	200	
1 N 3838	90...110	0,5...15	150	



## 1. Funktionsprüfer für Triacs

Das Bild 28 zeigt die Schaltung des Funktionsprüfers für Triacs. Mit dieser Schaltung kann geprüft werden, ob der Triac funktionstüchtig ist. Der zu prüfende Triac wird an die drei Anschlußklemmen  $T_1$ ,  $T_2$  und G angeschlossen. Der Schalter  $S_3$  steht dabei in einer beliebigen Stellung. Sollten gleich auf Anhieb die richtigen Anschlußbelegungen gefunden worden sein, so leuchtet die Lampe  $La_1$  bei Betätigung des Tasters  $S_1$  auf. Ist dies nicht der Fall, so ist eine andere Anschlußvariante zu suchen.

In der nebenstehenden Tabelle sind die sechs Variationsmöglichkeiten gezeigt.

Hat man die richtigen Anschlüsse gefunden (Lampe  $La_1$  leuchtet) so wird der Schalter  $S_3$  umgelegt. Danach wird der Taster  $S_2$  betätigt. Ist der zu prüfende Triac in Ordnung, so muß jetzt die Lampe  $La_1$  nochmals leuchten.

In der folgenden Tabelle sind die sechs Variationsmöglichkeiten gezeigt.

Variante Nr.	Anschlußbezeichnung des Triacs	Verbinden mit den Anschlußpunkten des Funktionsprüfers	Anschluß des Triacs
1	$T_2$ $T_1$ G	1 2 3	richtig
2	$T_2$ $T_1$ G	2 1 3	richtig
3	$T_2$ $T_1$ G	3 2 1	falsch
4	$T_2$ $T_1$ G	1 3 2	falsch
5	$T_2$ $T_1$ G	2 3 1	falsch
6	$T_2$ $T_1$ G	3 1 2	falsch

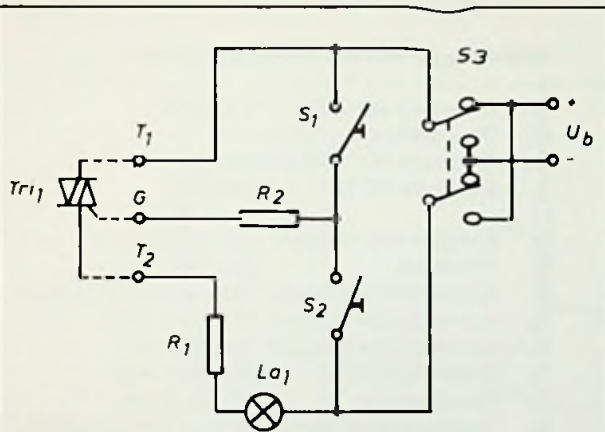


Bild 28 Schaltung des Funktionsprüfers für Triacs

#### Stückliste für den Funktionsprüfer für Triacs

Tri <sub>1</sub>	Triac (Prüfling)
R <sub>1</sub>	Drahtwiderstand 100 Ω/5 W/5%
R <sub>2</sub>	Kohleschichtwiderstand 100 Ω/¼ W/5%
S <sub>1</sub>	Taster mit Arbeitskontakt
S <sub>2</sub>	Taster mit Arbeitskontakt
S <sub>3</sub>	Doppelpoliger Umschalter
U <sub>b</sub>	Batterie 9 V oder entsprechendes Netzgerät
La <sub>1</sub>	Glühlampe mit Fassung 6,3 V/0,3 A

3 Telefonbuchsen für den Anschluß des Prüflings

## 2. Automatischer Dimmer

Mit dem in Bild 29 gezeigten automatischen Dimmer ist das allmähliche Aufleuchten und Löschen einer Raumbeleuchtung möglich. Wird der Schalter S<sub>1</sub> geschlossen (S<sub>1</sub> ist vorher geöffnet gewesen), so lädt sich der Kondensator C<sub>1</sub> über den Widerstand R<sub>3</sub> langsam auf. Hat nun die Kondensatorspannung den Wert von ca. 0,65 V erreicht, wird der Transistor T<sub>1</sub> in den leitenden Zustand gesteuert. Über die Kollektor-Emitter-Strecke von T<sub>1</sub> beginnt der Kollektorstrom zu fließen. Der Spannungsabfall, der dann an der Kollektor-Emitter-Strecke von T<sub>1</sub> entsteht, steuert nun den Transistor T<sub>2</sub> zu. Die Lampe La<sub>1</sub> wird dunkler. Steigt jetzt die Kondensatorspannung an C<sub>1</sub> weiter an, so wird der Transistor T<sub>1</sub> immer mehr in den leitenden Zustand gesteuert. Der Kollektorstrom wird größer und damit wird der Kollektor-Emitter-Widerstand von T<sub>1</sub> kleiner. Jetzt wird auch der Transistor T<sub>2</sub> immer mehr in den Sperrzustand gesteuert, sein Kollektorstrom wird kleiner und damit wird die Lampe La<sub>1</sub> noch dunkler. Die Helligkeit der Lampe La<sub>1</sub> steuert nun den Fotowiderstand R<sub>6</sub>. Sein Widerstand wird mit zunehmendem Dunklerwerden der Lampe La<sub>1</sub> größer. Dadurch wird der Triac Tri<sub>1</sub> nicht mehr über den Diac Di<sub>1</sub> voll durchgesteuert (Verschiebung des Zündzeitpunktes).

So erhält man ein allmähliches Abfallen der Beleuchtungsstärke der Lampe La<sub>1</sub>, die in den Laststromkreis des Triacs geschaltet ist. Der Anfangswert der Beleuchtungsstärke von La<sub>1</sub> und damit auch von La<sub>2</sub> kann mit dem Trimm-

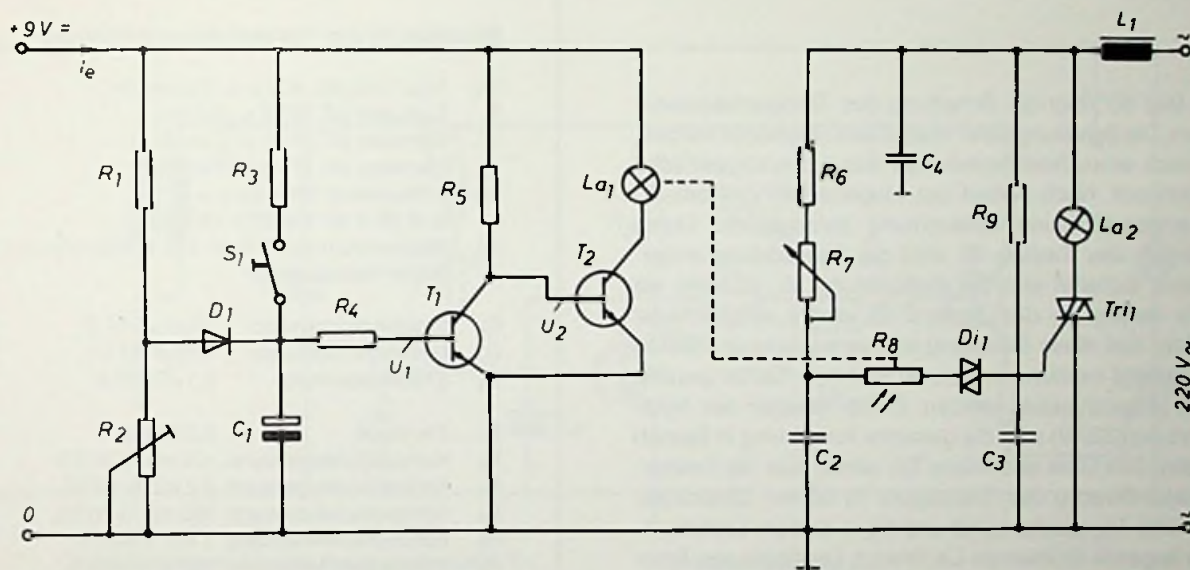
potentiometer  $R_2$  eingestellt werden. Über  $R_1$ ,  $R_2$  und  $D_1$  wird die Kondensatorspannung auf einem bestimmten Wert festgehalten. Dieser Wert wird mit dem Trimpotiometer  $R_2$  eingestellt. Nach Öffnen des Schalters  $S_1$  steigt die Beleuchtungsstärke langsam an. Der Kondensator  $C_1$  entlädt sich über den Widerstand  $R_4$  und die Basis-Emitter-Strecke von  $T_1$ . Wird der Widerstandswert von  $R_4$  erhöht (z. B. 47 k $\Omega$ ), so verlängert sich die Entladezeit entsprechend. Mit dem Potentiometer  $R_7$  wird der auszusteuernde Helligkeitsbereich der Glühlampe  $La_2$  eingestellt. Soll die Lampe  $La_2$  noch langsamer ausgehen, so muß  $R_3$  erhöht werden (z. B. 220 k $\Omega$ , 470 k $\Omega$  . . . 1 M $\Omega$ ). Wird  $R_3$  mit 100 k $\Omega$  eingesetzt, so geht die Lampe  $La_2$  nach Schließen von  $S_1$  innerhalb von ca. 10 sec langsam aus. Die Schaltung ist so ausgelegt, daß ein Gatestrom von 30 mA fließen kann.

Die Schaltung wurde praktisch aufgebaut. Dabei wurde der Strom  $I_0$  der 9-V-Gleichspannungsversorgung zu 7,5 mA gemessen, wenn die Lampe  $La_1$  nicht brennt und 90 mA, wenn die Lampe  $La_1$  brennt. Die Messung der Spannungen  $U_1$  und  $U_2$  wurde mit einem Vielfachmeßinstrument durchgeführt. Der Innenwiderstand dieses Instrumentes betrug  $R_i = 25$  k $\Omega/V$ . Folgende Spannungswerte wurden gemessen:

$U_1$  wenn  $La_1$  nicht brennt: 2 V  
 $U_1$  wenn  $La_1$  brennt: 0 V  
 $U_2$  wenn  $La_1$  nicht brennt: 0,15 V  
 $U_2$  wenn  $La_1$  brennt: 0,7 V

#### Stückliste für den automatischen Dimmer

Tri <sub>1</sub>	Triac TAG 261-600 o. ä. (Tabelle IV)
Di <sub>1</sub>	Diac A9903 o. ä. (Tabelle V)
T <sub>1</sub>	Transistor BC 109 o. ä. (Tabelle I)
T <sub>2</sub>	Transistor BD 135 o. ä. (Tabelle VI)
R <sub>1</sub>	Kohleschichtwiderstand 68 k $\Omega$ /1/4 W/5%
R <sub>2</sub>	Trimpoti 20 k $\Omega$ lin
R <sub>3</sub>	Kohleschichtwiderstand 100 k $\Omega$ /5%/1/4 W (s. Text)
R <sub>4</sub>	Kohleschichtwiderstand 22 k $\Omega$ /5%/1/4 W
R <sub>5</sub>	Kohleschichtwiderstand 1 k $\Omega$ /5%/1/4 W
R <sub>6</sub>	Drahtwiderstand 5,6 k $\Omega$ /5%/6 W
R <sub>7</sub>	Potentiometer 470 k $\Omega$ lin/1 W
R <sub>8</sub>	Fotowiderstand LDR 07 o. ä. (z. B. LDR 03, LDR 05, ORP 12, RPY 30)
R <sub>9</sub>	Kohleschichtwiderstand 470 $\Omega$ /5%/1/4 W
C <sub>1</sub>	Elektrolytkondensator 1000 $\mu$ F/16 V
C <sub>2</sub>	Erofolkondensator 0,1 $\mu$ F/400 V
C <sub>3</sub>	Erofolkondensator 0,1 $\mu$ F/630 V
C <sub>4</sub>	Erofolkondensator 0,1 $\mu$ F/630 V
La <sub>1</sub>	Glühlampe 6,3 V/50 mA
La <sub>2</sub>	Glühlampe 220 V/ $P_{max} = 1700$ W (gilt für TAG 261-600)
S <sub>1</sub>	Taster mit Arbeitskontakt
	1 Kühlkörper für Triac mit $R_{th} \approx 2,5$ °C/W
L <sub>1</sub>	Spule mit Ferritstab 150 $\mu$ H (s. Wickelangabe)



**Wickelangabe für L<sub>1</sub>**

Ein Ferrit-Antennenstab mit etwa 10 cm Länge wird mit CuL-Draht (Kupferlackdraht) 1,5 mm Ø vollständig bewickelt (Drahtlänge ca. 4,5 m).

**Achtung, die Schaltung liegt am Netzspannungspotential!**

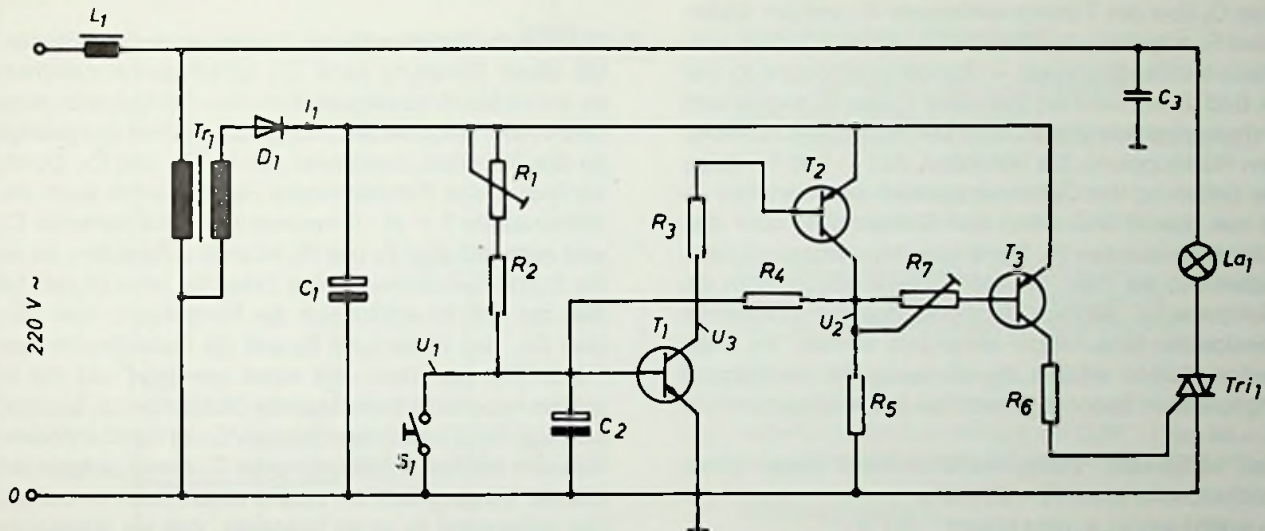
*Bild 29  
Schaltung des automatischen Dimmers*

### 3. Treppenhausautomat

Das Bild 30 zeigt die Schaltung des Treppenhausautomaten. Die Schaltung kann überall dort eingesetzt werden, wo nach einer bestimmten Zeit das Licht abgeschaltet werden soll. Nach Ablauf der eingestellten Zeit erlischt die angeschlossene Beleuchtung automatisch. Durch Betätigen des Tasters  $S_1$  wird die Beleuchtung eingeschaltet. Schaltet sich die Beleuchtung ab, so kann sie durch Betätigung des Tasters  $S_1$  wieder eingeschaltet werden. Soll diese Schaltung von verschiedenen Stellen aus betätigt werden, so können mehrere Tasten parallel zu  $S_1$  angeschlossen werden. Durch Anlegen der Netzspannung (220 V) wird die gesamte Anordnung in Betrieb gesetzt. Das Gate des Triacs  $Tri_1$  erhält über die Emitter-Kollektor-Strecke des Transistors  $T_3$  seinen Zündstrom. Der Triac  $Tri_1$  zündet somit und die in seinem Laststromkreis liegende Glühlampe  $La_1$  brennt. Die Basis des Transistors  $T_3$  wird über das Trimpotentiometer  $R_7$  angesteuert. Mit diesem Trimpotentiometer kann der Gatestrom von  $Tri_1$  zwischen 17 und 48 mA eingestellt werden. Der verwendete Triactyp besitzt einen maximalen Zündstrom von 25 mA. Der Einstellbereich von  $R_7$  ist damit ausreichend. Es können auch andere Triactypen zur Anwendung kommen. Der Gatestrom ist dann mit  $R_7$  so einzustellen, daß der verwendete Triactyp noch sicher durchschaltet.

#### Stückliste für den Treppenhausautomaten

$Tri_1$	Triac TAG 261-600 o. ä. (Tabelle IV)
$T_1$	Transistor BC 107 o. ä. (Tabelle I)
$T_2$	Transistor BC 177 o. ä. (Tabelle II)
$T_3$	Transistor BC 177 o. ä. (Tabelle II)
$D_1$	Siliziumdiode 1N 4002 o. ä. (z. B. BYX 36/300, BTX 18/200)
$Tr_1$	Netztransformator Primär: 220 V/Sekundär: 6,3 V (siehe Wickelangabe)
$C_1$	Elektrolytkondensator 1000 $\mu$ F/16 V
$C_2$	Elektrolytkondensator 470 $\mu$ F/16 V
$C_3$	Erofolkkondensator 0,1 $\mu$ F/630 V
$R_1$	Trimpoti 2,5 M $\Omega$ lin
$R_2$	Kohleschichtwiderstand 470 k $\Omega$ /¼ W/5%
$R_3$	Kohleschichtwiderstand 2,2 k $\Omega$ /¼ W/5%
$R_4$	Kohleschichtwiderstand 390 k $\Omega$ /¼ W/5%
$R_5$	Kohleschichtwiderstand 1 k $\Omega$ /¼ W/5%
$R_6$	Kohleschichtwiderstand 150 $\Omega$ /¼ W/5%
$R_7$	Trimpoti 100 k $\Omega$ lin
$La_1$	Glühlampe 220 V/ $P_{max} = 1700$ W (gilt für TAG 261-600)
$S_1$	Taster mit Arbeitskontakt
	1 Kühlkörper für Triac mit $R_{th} \leq 2,5$ °C/W
$L_1$	Spule mit Ferritstab 150 $\mu$ H (nach Wickelangabe)



#### Wickelangabe für den Netztransformator $Tr_1$

Primärspannung: 220 V  
 Sekundärspannung: 6,3 V  
 Kern nach DIN: M 42/15  
 Primärwicklung: 5080 Wdg., CuL-Draht 0,04 mm  $\varnothing$ .  
 Drahtlänge ca. 400 m  
 Sekundärwicklung: 147 Wdg., CuL-Draht 0,2 mm  $\varnothing$ ,  
 Drahtlänge ca. 15 m

**Achtung, die Schaltung liegt am Netzspannungspotential!**

#### Wickelangabe für $L_1$

Ein Ferrit-Antennenstab mit etwa 10 cm Länge wird mit  
 CuL-Draht (Kupferlackdraht) 1,5 mm  $\varnothing$  vollständig  
 bewickelt (Drahtlänge ca. 4,5 m).

Bild 30  
 Schaltung des Treppenhausautomaten

Die Lampe  $La_1$  brennt nun solange, bis sich der Kondensator  $C_2$  über das Trimpotentiometer  $R_1$  und den Widerstand  $R_2$  aufgeladen hat und der Transistor  $T_1$  leitend wird. (Basis-Emitter-Spannung = Kondensatorspannung von ca. 0,65 V). Nun wird der Transistor  $T_2$  über  $R_3$  angesteuert und wird ebenfalls leitend. Über den Widerstand  $R_4$  erfolgt eine Rückkopplung. Sie verhindert, daß  $T_1$  und  $T_2$  infolge der Entladung von  $C_2$  erneut sperren. Der Transistor  $T_2$  ist nun leitend und sperrt den Transistor  $T_3$  über das Trimpotentiometer  $R_7$ . Damit kann kein Gatestrom mehr fließen und der Triac  $Tri_1$  sperrt. Damit erlischt auch die Glühlampe  $La_1$ . Mit dem Trimpotentiometer  $R_1$  kann die gewünschte Einschaltzeit eingestellt werden. Im praktischen Aufbau erfolgte die Messung der nachfolgend angegebenen Spannungswerte bei einem Gatestrom von  $I_G = 30 \text{ mA}$ .

Das verwendete Vielfachmeßinstrument besaß einen Innenwiderstand von  $R_i = 25 \text{ k}\Omega/\text{V}$ .

$U_1$  wenn Lampe  $La_1$  nicht brennt: 0,7 V

$U_1$  wenn Lampe  $La_1$  brennt: 0 . . . 0,69 V  
(bei 0,7 V erlischt  $La_1$   
wieder)

$U_2$  wenn Lampe  $La_1$  nicht brennt: 8,5 V

$U_2$  wenn Lampe  $La_1$  brennt: 0 V

$U_3$  wenn Lampe  $La_1$  nicht brennt: 0,1 V

$U_3$  wenn Lampe  $La_1$  brennt: 8 V

$I_1$  wenn Lampe  $La_1$  nicht brennt: 12 mA

$I_1$  wenn Lampe  $La_1$  brennt: 30 mA

Mit der angegebenen Dimensionierung wurden im praktischen Aufbau einstellbare Schaltzeiten von ca. 20 sec. bis 10 Minuten erreicht.

#### 4. Triac-Blinker

Die einfache Schaltung in Bild 31 zeigt einen Triac-Blinker. Mit dieser Schaltung kann die Blinkfrequenz zwischen ca. 0,5 Hz bis 10 Hz eingestellt werden. Die Netzspannung (220 V) wird durch die Diode  $D_1$  gleichgerichtet und gelangt an das RC-Glied, bestehend aus  $R_1$ ,  $R_2$  und  $C_1$ . Durch Verändern des Potentiometers  $R_2$  wird somit auch die Zeitkonstante  $T = R \cdot C$  verändert. Der Kondensator  $C_1$  wird zunächst über  $R_1$  und  $R_2$  solange aufgeladen, bis er die Durchbruchspannung des Diacs  $Di_1$  erreicht hat. Ist dies der Fall, so entlädt sich der Kondensator über den Diac  $Di_1$ , den Widerstand  $R_3$  und die Gate-Strecke des Triacs  $Tri_1$ . Der Triac wird somit getriggert und die in seinem Hauptstromkreis liegende Glühlampe  $La_1$  leuchtet kurz auf. Der Elektrolytkondensator  $C_1$  ist damit entladen. Nun wird der Elektrolytkondensator  $C_1$  erneut aufgeladen und der Vorgang läuft wie bereits beschrieben erneut ab. Der Widerstand  $R_3$  ist so ausgelegt, daß ein Gatestrom von max. 31 mA fließen kann. Damit ist beim angegebenen Triactyp ein sicheres Zünden gewährleistet. Die Schaltung ist relativ einfach. Es ist jedoch zu beachten, daß die Hell- und Dunkelzeit größeren Streuungen unterworfen ist. Beim praktischen Aufbau wurde eine Hellzeit von ca. 0,1 bis 0,5 sec erreicht. Am Elektrolytkondensator  $C_1$  wurde eine Spannung von 34 V gegen 0 und am Potentiometer  $R_2$  34 . . . 118 V (siehe Schaltbild) je nach Stellung des Potentiometers  $R_2$  gemessen. Das verwendete Vielfachmeßinstrument hat einen Innenwiderstand  $R_i = 25 \text{ k}\Omega/\text{V}$ .

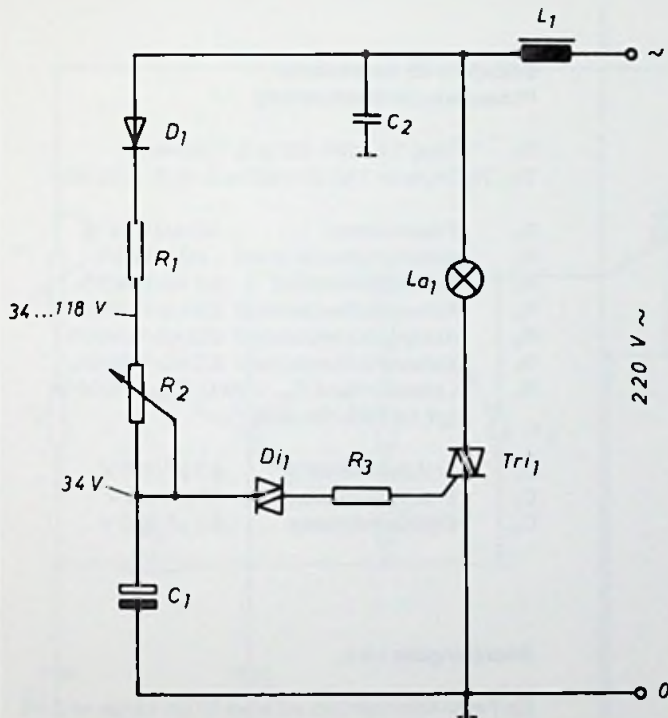


Bild 31 Schaltung des Triac-Blinkers

#### Stückliste für den Triac-Blinker

Tri<sub>1</sub> Triac TAG 261-600 o. ä. (Tabelle IV)  
 Di<sub>1</sub> Diac A9903 o. ä. (Tabelle V)  
 D<sub>1</sub> Siliziumdiode 1N 4007 o. ä. (DS 2-07, DS 1,2-07)

C<sub>1</sub> Elektrolytkondensator 250  $\mu$ F/70 V  
 C<sub>2</sub> Erolkondensator 0,1  $\mu$ F/630 V

R<sub>1</sub> Hochlastwiderstand 2,7 k $\Omega$ /3 W/5%  
 R<sub>2</sub> Potentiometer 100 k $\Omega$  lin/1 W  
 R<sub>3</sub> Kohleschichtwiderstand 100  $\Omega$ /5%/1/4 W

La<sub>1</sub> Glühlampe 220 V/P<sub>max</sub> = 1700 W  
 (gilt für TAG 261 600)

1 Kühlkörper für Triac mit R<sub>th</sub>  $\leq$  2,5 °C/W

L<sub>1</sub> Spule mit Ferritkern 150  $\mu$ H (nach Wickelangabe)

#### Wickelangabe für L<sub>1</sub>

Ein Ferrit-Antennenstab mit etwas 10 cm Länge wird mit CuL-Draht (Kupferlackdraht) 1,5 mm  $\varnothing$  vollständig bewickelt (Drahtlänge ca. 4,5 m)

**Achtung, die Schaltung liegt am Netzspannungspotential!**

## 5. Einfache Phasenschnittsteuerung

In Bild 32 ist eine Schaltung dargestellt, die sich z. B. zur stufenlosen Veränderung der Leistungsaufnahme eines Heizkörpers oder eines Lötkolbens verwenden läßt. Diese Leistungsänderung erfolgt mit dem Potentiometer  $R_1$ . Die Ansteuerung des Triacs  $Tri_1$  geschieht über eine bistabile Kippstufe, die aus den beiden Thyristoren  $Th_1$  und  $Th_2$  besteht. Der Kondensator  $C_2$  liefert hier die Zündenergie für den Triac  $Tri_1$ . Die Phasenverschiebung wird durch die RC-Kombination  $R_1$ ,  $R_2$  und  $C_1$  bewirkt. Die Zeitkonstante  $T$  wird mittels des Potentiometers  $R_1$  verändert. Beim praktischen Aufbau wurden folgende Ströme und Spannungen gemessen. Das Vielfachinstrument, das zur Messung verwendet wurde, hatte einen Innenwiderstand von  $25 \text{ k}\Omega/V$ . Alle Spannungen sind gegen Masse gemessen.

Spannung am Kondensator  $C_1$ : 35...200 V je nach Stellung des Potentiometers  $R_1$

Gateströme von  $Th_1$  und  $Th_2$ : je Thyristor 1,5 mA

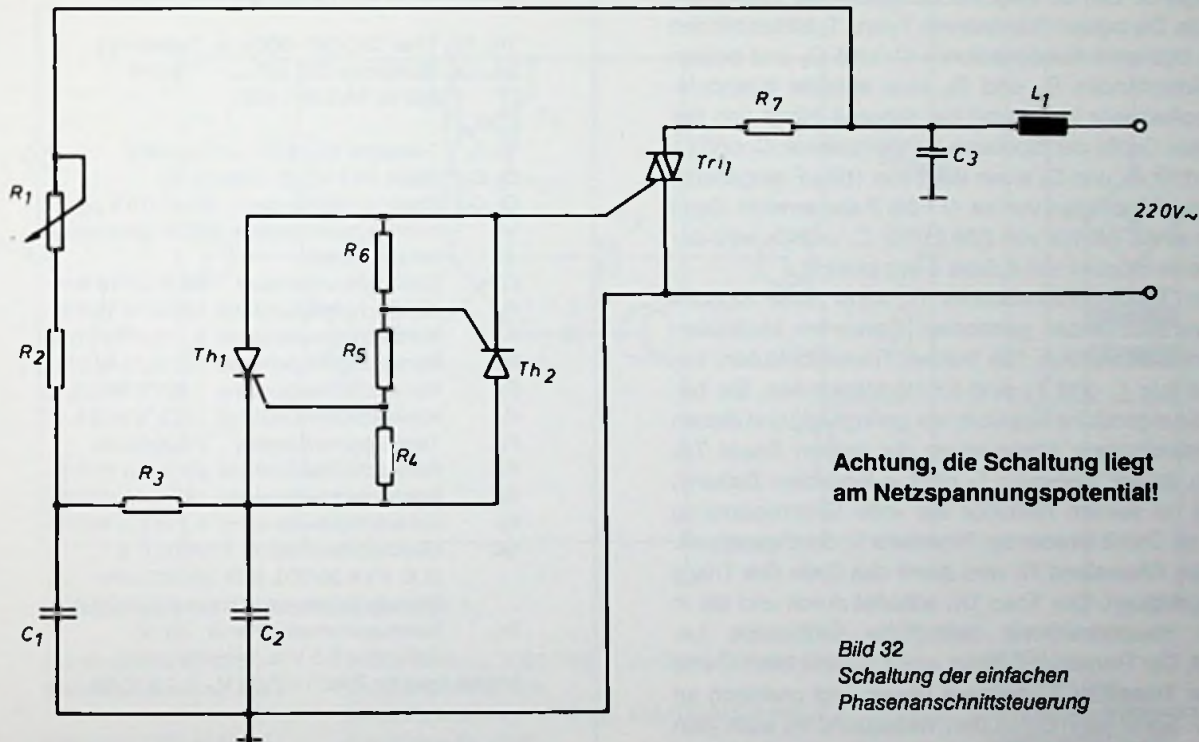
Beim Einsatz eines Widerstandes für  $R_3$  von  $6,2 \text{ k}\Omega$ , mit einer Leistung von 6 W, wurde ein Gatestrom für  $Tri_1$  von 28 mA gemessen. Für den angegebenen Triactyp ist dies ausreichend, um diesen sicher durchzusteuern. Wird für den Widerstand  $R_3$  ein Wert von  $2,7 \text{ k}\Omega$  mit einer Leistung von 10 W eingesetzt, so kann ein Gatestrom von 55 mA fließen. Der Widerstand  $R_2$  muß dann eine Leistung von 4 W aufweisen. Es können somit auch Triactypen, deren oberer Zündstromwert bei 55 mA liegt, eingesetzt werden.

### Stückliste für die einfache Phasenanschnittsteuerung

$Tri_1$	Triac TAG 261-600 o. ä. (Tabelle IV)
$Th_1, Th_2$	Thyristor TAG 614-800 o. ä. (z. B. BRX 49)
$R_1$	Potentiometer 100 $\text{k}\Omega$ lin/2 W
$R_2$	Kohleschichtwiderstand 1 $\text{k}\Omega/1 \text{ W}/5\%$
$R_3$	Hochlastwiderstand 6,2 $\text{k}\Omega/6 \text{ W}/5\%$
$R_4$	Kohleschichtwiderstand 2,2 $\text{k}\Omega/1/4 \text{ W}/5\%$
$R_5$	Kohleschichtwiderstand 300 $\text{k}\Omega/1/4 \text{ W}/5\%$
$R_6$	Kohleschichtwiderstand 2,2 $\text{k}\Omega/1/4 \text{ W}/5\%$
$R_7$	Lastwiderstand $R_{\min} = 28 \Omega/P_{\max} = 1700 \text{ W}$ (gilt für TAG 261-600)
$C_1$	Erofolkondensator 0,1 $\mu\text{F}/400 \text{ V}$
$C_2$	Erofolkondensator 47 nF/400 V
$C_3$	Erofolkondensator 0,1 $\mu\text{F}/630 \text{ V}$

### Wickelangabe für L<sub>1</sub>

Ein Ferrit-Antennenstab mit etwa 10 cm Länge wird mit CuL-Draht (Kupferlackdraht) 1,5 mm  $\varnothing$  vollständig bewickelt (Drahtlänge ca. 4,5 mm).



**Achtung, die Schaltung liegt  
am Netzspannungspotential!**

*Bild 32  
Schaltung der einfachen  
Phasenanschnittsteuerung*

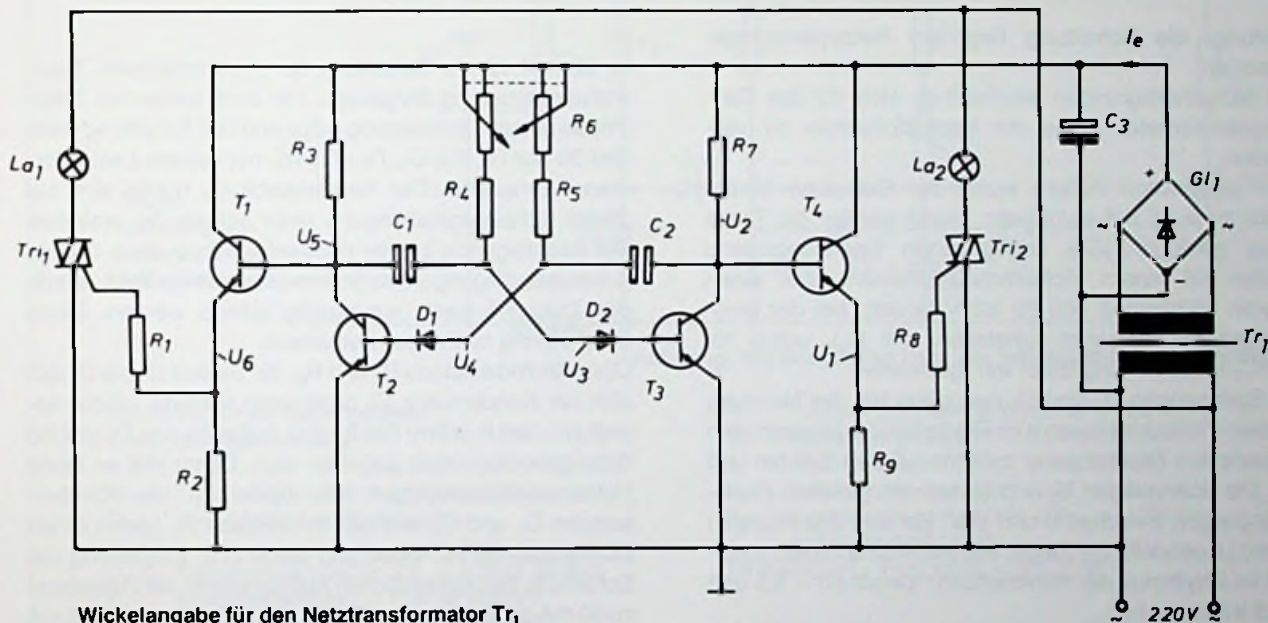
## 6. Leistungskippstufe

Das folgende Bild 33 zeigt die Schaltung der Leistungskippstufe. Die beiden Transistoren  $T_3$  und  $T_2$  bilden mit den beiden bipolaren Kondensatoren  $C_1$  und  $C_2$  und beiden Basiswiderständen  $R_4$  und  $R_5$  eine astabile Kippstufe. Die Kippfrequenz und damit die Kippzeit hängt von der gewählten Größe der bipolaren Kondensatoren  $C_1$  und  $C_2$  ab. Wird für  $C_1$  und  $C_2$  je ein Wert von  $100 \mu\text{F}$  eingesetzt, so werden Kippzeiten von ca. 0,1 bis 2 sec erreicht. Beim Einsatz eines Wertes von  $220 \mu\text{F}$  für  $C_1$  und  $C_2$  wird dagegen eine Kippzeit von 0,5 bis 3 sec erreicht.

Mit dem Tandempotentiometer  $R_6$  kann diese Kippzeit zwischen den beiden genannten Eckwerten kontinuierlich verändert werden. Die beiden Transistorstufen, bestehend aus  $T_1$  und  $T_4$  sind Emitterfolgestufen. Sie belasten die eigentliche Kippstufe nur geringfügig und dienen der niederohmigen Ansteuerung der beiden Triacs  $\text{Tri}_1$  und  $\text{Tri}_2$ . Ist der Transistor  $T_2$  nicht in leitendem Zustand, so liegt an seinem Kollektor die volle Gleichspannung (7,6 V) an. Damit ist aber der Transistor  $T_1$  durchgesteuert. Über den Widerstand  $R_1$  wird damit das Gate des Triacs  $\text{Tri}_1$  angesteuert. Der Triac  $\text{Tri}_1$  schaltet durch und die in seinem Hauptstromkreis befindliche Glühlampe  $\text{La}_1$  leuchtet. Der Transistor  $T_3$  leitet, wenn  $T_2$  nicht leitet. Damit wird der Transistor  $T_4$  gesperrt (Basis liegt praktisch an Masse). Somit kann durch den Widerstand  $R_8$  auch kein Gatestrom fließen. Der Triac  $\text{Tri}_2$  ist gesperrt. Die Glühlampe  $\text{La}_2$  bleibt dunkel.

### Stückliste für den Leistungsmultivibrator

$\text{Tri}_1, \text{Tri}_2$	Triac TAG 241-600 o. ä. (Tabelle IV)
$\text{La}_1, \text{La}_2$	Glühlampe 220 V/ $P_{\text{max}} = 1700 \text{ W}$ (gilt für TAG 241-600)
$T_1, T_2,$ $T_3, T_4$	Transistor BC 107 o. ä. (Tabelle I)
$D_1, D_2$	Diode 1N914 o. ä. (Tabelle III)
$C_1, C_2$	Bipolarer Kondensator $100 \mu\text{F}/16 \text{ V}$ oder zwei Tantalelkos mit je $220 \mu\text{F}$ gegeneinander geschaltet
$C_3$	Elektrolytkondensator $2200 \mu\text{F}/16 \text{ V}$
$R_1$	Kohleschichtwiderstand $180 \Omega/1/4 \text{ W}/5\%$
$R_2$	Kohleschichtwiderstand $4,7 \text{ k}\Omega/1/4 \text{ W}/5\%$
$R_3$	Kohleschichtwiderstand $470 \Omega/1/4 \text{ W}/5\%$
$R_4$	Kohleschichtwiderstand $1 \text{ k}\Omega/1/4 \text{ W}/5\%$
$R_5$	Kohleschichtwiderstand $1 \text{ k}\Omega/1/4 \text{ W}/5\%$
$R_6$	Tandempotentiometer $2 \times 10 \text{ k}\Omega \text{ lin}$
$R_7$	Kohleschichtwiderstand $470 \Omega/1/4 \text{ W}/5\%$
$R_8$	Kohleschichtwiderstand $180 \Omega/1/4 \text{ W}/5\%$
$R_9$	Kohleschichtwiderstand $4,7 \text{ k}\Omega/1/4 \text{ W}/5\%$
$\text{Gl}_1$	Gleichrichterdiode $4 \times 1\text{N}4002$ o. ä. (z. B. BYX 36/300, BTX 18/200) oder Silizium-Brückengleichrichter B30C500
$\text{Tr}_1$	Netztransformator Primär: 220 V/ Sekundär: 6,3 V (s. Wickelangabe)
	2 Kühlkörper für Triac 1 + 2 mit $R_{\text{th}} \leq 2,5 \text{ }^\circ\text{C/W}$



Wickelangabe für den Netztransformator  $Tr_1$

Primärspannung: 220 V  
 Sekundärspannung: 6,3 V

Primärwicklung: 5080 Wdg., CuL-Draht 0,04 mm  $\varnothing$ ,  
 Drahtlänge ca. 400 m  
 Sekundärwicklung: 147 Wdg., CuL-Draht 0,2 mm  $\varnothing$ ,  
 Drahtlänge ca. 15 m

Kern nach DIN: M 42/15

**Achtung, die Schaltung liegt am Netzspannungspotential!**

*Bild 33  
 Schaltung des  
 Leistungsmultivibrators  
 (Leistungskippstufe)*

Die Widerstände  $R_1$  und  $R_8$  dienen der Strombegrenzung für die beiden Transistoren  $T_1$  und  $T_4$ .

### **Achtung, die Schaltung liegt am Netzspannungspotential!**

Aus Sicherheitsgründen empfiehlt es sich, für das Tandempotentiometer eines mit Kunststoffachse zu verwenden.

Beim praktischen Aufbau wurde der Gatestrom beider Triacs zu je 35 mA gemessen. Damit werden die Triacs sicher getriggert. Die angegebenen Spannungswerte wurden mit einem Vielfachmeßinstrument, das einen inneren Widerstand von 25 k $\Omega$ /V besitzt, bei der langsamsten Blinkfrequenz (einstellbar mit  $R_6$ ), wobei für  $C_1 = C_2 = 220 \mu\text{F}$  eingesetzt war, gemessen.

Die Spannungen  $U_1$  und  $U_6$  pendelten bei der Messung mit dem Vielfachinstrument im Rhythmus der langsamsten eingestellten Blinkfrequenz zwischen 0 und 7 V hin und her. Die Spannungen  $U_2$  und  $U_5$  bei den gleichen Randbedingungen zwischen 0 und 8 V. Bei den Spannungen  $U_3$  und  $U_4$  pendelte der Zeiger des Meßinstrumentes ebenfalls im Rhythmus der Blinkfrequenz zwischen  $-4,5$  und  $+0,8$  V hin und her.

Die beiden Triacs  $Tri_1$  und  $Tri_2$  können durch entsprechende Thyristoren (Gatestrom und Schaltleistung beachten) ersetzt werden. Jedoch werden dann die beiden Glühlampen  $La_1$  und  $La_2$  nur in jeder zweiten Halbperiode der Netzwechselspannung gesteuert. Der Strom  $I_C$  wurde zu 50 mA gemessen.

## **7. Hysteresefreie Triac-Vollwegsteuerung**

In Bild 34 ist die Schaltung der hysteresefreien Triac-Vollwegsteuerung dargestellt. Bei einer einfachen Triac-Phasenanschnittsteuerung wäre von der Schaltung nach Bild 36 nur  $R_4$ ,  $R_5$ ,  $C_3$ ,  $R_6$  und  $Tri_1$  mit seinem Lastwiderstand vorhanden. Der Kondensator  $C_3$  würde sich bei dieser Schaltungsauslegung nicht vollständig entladen. Die nachfolgende zweite Halbwelle würde dann andere Anfangsbedingungen vorfinden. Dadurch bedingt, würde der Triac  $Tri_1$  dann sprungartig leitend werden. Diese Erscheinung nennt man Hysterese.

Über die Widerstände  $R_2$  und  $R_3$ , die Dioden  $D_1$  bis  $D_4$  lädt sich der Kondensator  $C_3$  nach jeder Periode wieder so weit auf, daß in jedem Fall für das Aufladen von  $C_3$  gleiche Anfangsbedingungen gegeben sind. Damit gibt es keine Hystereseerscheinungen. Die Spule  $L_1$ , die Kondensatoren  $C_1$  und  $C_2$  und der Widerstand  $R_1$  bilden einen LC-Tiefpaß mit RC-Glied und dienen zur Entstörung der Schaltung. Beim praktischen Aufbau wurde der Gatestrom zu 30 mA gemessen. Der Strom durch  $R_2$  wurde zu 5,6 mA und durch  $R_3$  zu 6 mA gemessen. Obwohl beide Widerstände den gleichen Wert aufgedruckt hatten (Farbcode), müssen die Toleranzen berücksichtigt werden. Daher die beiden etwas von einander abweichenden Stromwerte. Der Spannungsabfall betrug an beiden Widerständen 120 V.

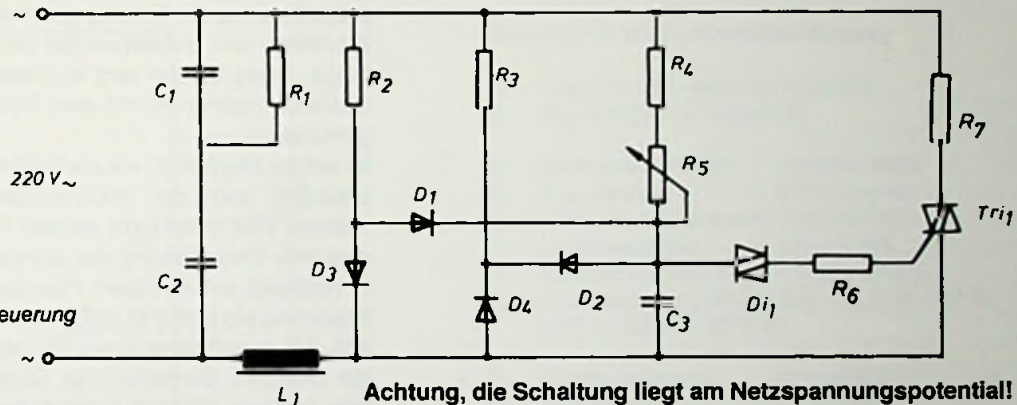


Bild 34  
Schaltung der  
hysteresefreien  
Triac-Vollwegsteuerung

Achtung, die Schaltung liegt am Netzspannungspotential!

**Stückliste für die hysteresefreie  
Triac-Vollwegsteuerung**

- Tri<sub>1</sub> Triac TAG 261-600 o. ä. (Tabelle IV)
- Di<sub>1</sub> Diac A 9903 o. ä. (Tabelle V)
- D<sub>1</sub>, D<sub>2</sub>
- D<sub>3</sub>, D<sub>4</sub> Siliziumdiode 1N4004 o. ä. (z. B. BYX 36/600)
- C<sub>1</sub> Erokondensator 47 nF/630 V
- C<sub>2</sub> Erokondensator 0,22 µF/630 V
- C<sub>3</sub> Erokondensator 0,1 µF/400 V
- L<sub>1</sub> Spule mit Ferritstab 150 µH  
(s. Wickelangabe)
- R<sub>1</sub> Kohleschichtwiderstand 150 Ω/¼ W/5%
- R<sub>2</sub> Kohleschichtwiderstand 22 kΩ/¼ W/5%

- R<sub>3</sub> Kohleschichtwiderstand 22 kΩ/¼ W/5%
- R<sub>4</sub> Hochlastwiderstand 5,6 kΩ/6 W/5%
- R<sub>5</sub> Potentiometer 500 kΩ lin/1 W
- R<sub>6</sub> Kohleschichtwiderstand 1 kΩ/1 W/5%
- R<sub>7</sub> Lastwiderstand R<sub>min</sub> = 28 Ω/P<sub>max</sub> = 1700 W  
(gilt für TAG 261-600)

1 Kühlkörper für Triac mit R<sub>th</sub> ≤ 2,5 °C/W

**Wickelangabe für L<sub>1</sub>**

Ein Ferrit-Antennenstab mit etwa 10 cm Länge wird mit CuL-Draht (Kupferlackdraht) 1,5 mm Ø vollständig bewickelt (Drahtlänge ca. 4,5 m).

## 8. Drehzahlstabilisierung

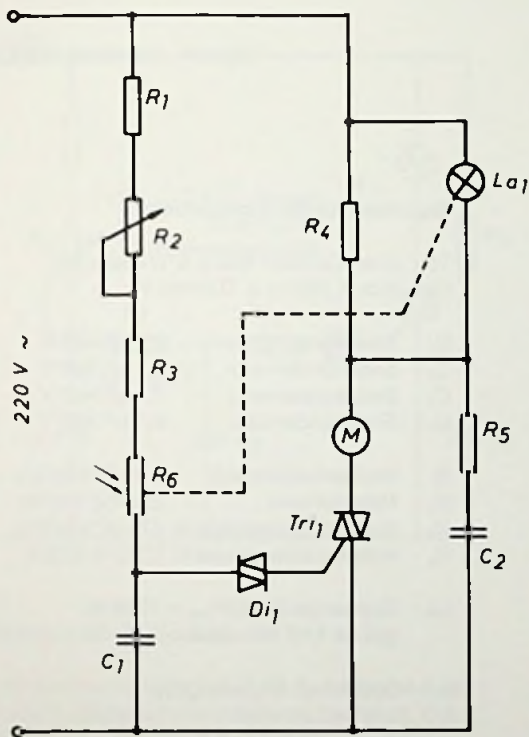
Die Schaltung der Drehzahlstabilisierung ist in Bild 35 dargestellt. Mit dieser Schaltung läßt sich die Drehzahl innerhalb eines bestimmten Bereiches stabilisieren. Im Hauptstromkreis des Triacs  $Tri_1$  liegt in Serie zum Motor  $M$ , dessen Drehzahl stabilisiert werden soll, der Widerstand  $R_4$ . Nach dem ohmschen Gesetz  $U = I \times R$  fällt an ihm eine Spannung ab. Die Höhe dieser Spannung ist vom Strom  $I$  abhängig. Wird nun der laufende Motor abgebremst (Belastung des Motors an der Antriebswelle z. B. einer Bohrmaschine), so erhöht sich die Stromaufnahme. Dadurch bedingt, wird der Spannungsabfall an  $R_4$  größer. Mit schwankender Belastung des Motors schwankt somit auch die Spannung an  $R_4$  zwischen zwei Eckpunkten hin und her. Mit dieser Spannung wird die

Lampe  $La_1$  gespeist. Die Helligkeit dieser Lampe ist somit proportional zu den Belastungsschwankungen des Motors. Ein Heller- und Dunklerwerden der Glühlampe  $La_1$  ist die Folge. Diese Lampe wird in einem lichtundurchlässigen Gehäuse zusammen mit dem Fotowiderstand  $R_6$  untergebracht.

Im selben Rhythmus, wie die Helligkeit von  $La_1$  schwankt, schwankt auch der Widerstandswert des Fotowiderstandes. Fällt mehr Licht auf den Fotowiderstand, so hat dies eine Verschiebung des Zündzeitpunktes des Triacs in Richtung auf kleineren Phasenwinkel zur Folge. Die Spannung am Motor  $M$  steigt an und die Drehzahl erhöht sich. Mit dem Potentiometer  $R_2$  erfolgt die Voreinstellung der Drehzahl. Da jedoch der Glühfaden der Lampe  $La_1$  eine gewisse Trägheit beim Aufleuchten oder Dunklerwerden besitzt, erfolgt die Nachregelung der Drehzahl mit einer gewissen Verzögerung.

Bei der praktisch aufgebauten Schaltung wurde der Gatestrom von  $Tri_1$  mit 30 mA gemessen. Als Motor wurde eine Handbohrmaschine mit einer Leistung von 220 W verwendet. Der Strom durch  $R_4$  wurde mit 0,2 . . . 1 A gemessen. Der Widerstand  $R_5$  und der Kondensator  $C_2$  dienen der Funkenstörung.

**Achtung, die Schaltung liegt am Netzspannungspotential!**



### Stückliste für die Drehzahlstabilisierung

- |  |  |
|--|--|
| Tri <sub>1</sub>   | Triac TAG 261-600 o. ä. (Tabelle IV)                                     |
| Di <sub>1</sub>  | Diac A 9903 o. ä. (Tabelle V)  |
| R <sub>1</sub>   | Hochlastwiderstand 5,6 kΩ/6 W/5%   |
| R <sub>2</sub>   | Potentiometer 270 kΩ lin/1 W   |
| R <sub>3</sub>   | Kohleschichtwiderstand 1 kΩ/1 W/5%                                       |
| R <sub>4</sub>   | Drahtwiderstand 3 Ω/3 W/5%   |
| R <sub>5</sub>   | Kohleschichtwiderstand 470 Ω/¼ W/5%                                      |
| R <sub>6</sub>   | Fotowiderstand LDR 07 Valvo o. ä. (z. B. LDR 03, LDR 05, ORP 12, RPY 30) |
| C <sub>1</sub>   | Eroffolkondensator 0,15 μF/400 V   |
| C <sub>2</sub>   | Eroffolkondensator 0,1 μF/400 V  |
| M  | Motor mit max. Leistung von 220 W  |
| 1 Kühlkörper für Triac mit $R_{th} \leq 2,5 \text{ } ^\circ\text{C/W}$ |  |
| La <sub>1</sub>  | Glühlampe für 4 V  |

Bild 35 Schaltung der Drehzahlstabilisierung

## 9. Lichtdimmer

Das Bild 36 zeigt die Schaltung des Lichtdimmers. In der Schaltung nach Bild 38 ist kein Ein-Aus-Schalter vorgehen. Befindet sich das Potentiometer  $R_2$  in Anfangsstellung (Linksanschlag), so ist der Lichtdimmer außer Betrieb, die Lampe  $La_1$  bleibt dunkel. Erst nach etwa einer Vierteldrehung des Potentiometers nach rechts beginnt der Dimmer zu arbeiten.

Der Triac  $Tri_1$  leitet nur etwa während eines Viertels der Periodendauer. Über den Widerstand  $R_1$ , das Potentiometer  $R_2$  und den Diac  $Di_1$  erhält der Triac  $Tri_1$  seinen Zündstrom.  $R_1$  ist so dimensioniert, daß ein maximaler Gatestrom von 30 mA fließen kann.

**Beachten Sie auch hier: Die Schaltung liegt am Netzspannungspotential.** Es ist daher vorteilhaft, für  $R_2$  ein Potentiometer mit Kunststoffachse zu verwenden.

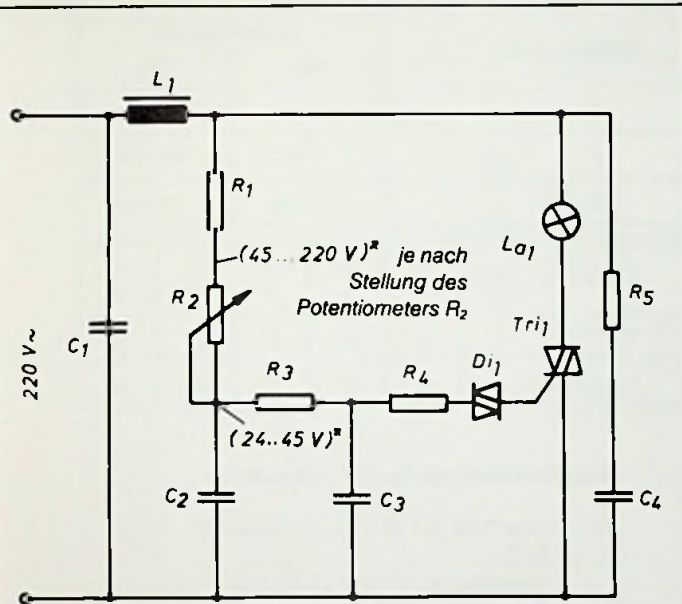
Der Widerstand  $R_5$  und der Kondensator  $C_4$  dienen zur Funkentstörung. Die Spule  $L_1$  und der Kondensator  $C_1$  sind eine zusätzliche Entstörungsmaßnahme. Diese Maßnahme ist dann notwendig, wenn der Dimmer in unmittelbarer Nähe (Abstand unter 1 m) von Sendern und Empfängern betrieben wird, die in einem Frequenzbereich unterhalb von 20 MHz arbeiten. Zu beachten ist jedoch, daß die Spule  $L_1$  vom Laststrom durchflossen wird.

Bild 36 Schaltung des Lichtdimmers

### Stückliste für den Lichtdimmer

$Tri_1$	Triac TAG 261-600 o. ä. (Tabelle IV)
$Di_1$	Diac A 9903 o. ä. (Tabelle V)
$C_1$	Erofolkondensator 0,1 $\mu$ F/630 V
$C_2$	Erofolkondensator 0,1 $\mu$ F/400 V
$C_3$	Erofolkondensator 0,1 $\mu$ F/400 V
$C_4$	Erofolkondensator 0,1 $\mu$ F/400 V
$R_1$	Hochlastwiderstand 6,2 k $\Omega$ /6 W/5%
$R_2$	Potentiometer 250 k $\Omega$ /1 W/lin
$R_3$	Kohleschichtwiderstand 470 $\Omega$ /1/2 W/5%
$R_4$	Kohleschichtwiderstand 27 $\Omega$ /1/4 W/5%
$La_1$	Glühlampe 220 V/ $P_{max} = 1700$ W (gilt für TAG 261-600)
$L_1$	Spule nach Wickelangabe
	1 Kühlkörper für Triac mit $R_{th} \leq 2,5^\circ$ C/W

## 10. Einstellbarer Zeitgeber



### Wickelangabe für die Spule $L_1$

Ein Ferrit-Antennenstab mit etwa 10 cm Länge wird mit CuL-Draht (Kupferlackdraht) vollständig bewickelt. CuL-Draht 1,5 mm  $\varnothing$  (Drahtlänge ca. 4,5 mm).

Das Bild 37 zeigt die Schaltung des einstellbaren Zeitgebers. Dieser Zeitgeber kann z. B. als Belichtungszeitgeber für Vergrößerungsapparate eingesetzt werden. Der Schalter  $S_2$  dient zur Einstellung des entsprechenden Zeitbereiches. In diesem eingestellten Bereich läßt sich dann die Zeit mit dem Potentiometer  $R_6$  stufenlos auf den gewünschten Zeitwert einstellen. Die so eingestellte Zeit läuft ab, wenn der Taster  $S_1$  betätigt wurde.

Innerhalb dieses Zeitraumes ist der Triac  $Tri_1$  leitend und die Lampe  $La_1$  ist eingeschaltet. Über den Taster  $S_1$ , den Kondensator  $C_1$  und die Diode  $D_1$  erhält die Basis von  $T_1$  ihre Ansteuerung. Der Transistor  $T_1$  wird leitend. Damit liegt einer der Bereichskondensatoren ( $C_2$ ,  $C_3$  oder  $C_4$  je nach dem mit  $S_2$  eingestellten Bereich) mit seiner positiven Seite (am Kondensator mit Plus gekennzeichnet) an Masse. Die negative Seite des Elektrolytkondensators liegt dagegen an der Basis von  $T_2$  an. Dadurch bedingt sperrt nun der Transistor  $T_2$ . Jetzt erhält der Transistor  $T_3$  positives Potential an seiner Basis.  $T_3$  wird damit durchgesteuert. Der nun fließende Kollektorstrom durch  $T_3$  erzeugt am Widerstand  $R_6$  einen Spannungsabfall der den Transistor  $T_4$  nun ebenfalls durchsteuert. Damit erhält das Gate des Triac  $Tri_1$  seinen notwendigen Steuerstrom. Der Triac wird durchgesteuert, die Lampe  $La_1$  leuchtet.

Hat sich nun der Bereichskondensator entladen, so wird der Transistor  $T_2$  leitend, sodaß dann die positive Spannung über  $R_5 + R_6$  überwiegt. Damit werden die Transistoren  $T_3$  und  $T_4$  gesperrt. Es kann kein Gatestrom mehr fließen, der Triac  $Tri_1$  sperrt und die Lampe  $La_1$  leuchtet nicht mehr. Über den Widerstand  $R_4$  erhält nun die Basis von  $T_1$  Massepotential. Die Folge ist, daß nun  $T_1$  sperrt. Durch erneutes Betätigen der Taste  $S_1$  läuft der Vorgang wieder ab.

Die Schaltung ist praktisch aufgebaut worden. Dabei wurde der Gatestrom zu 31 mA gemessen. Damit ist ein sicheres Durchschalten des Triacs  $Tri_1$  gewährleistet.

In den nachstehenden Tabellen sind die erreichten Zeiten in den einzelnen Stellungen des Stufenschalters  $S_2$  angegeben. In der Praxis weicht der rechnerische Wert ab, da ja die Bauelemente Toleranzen besitzen.

Die in der unteren Tabelle angegebenen Spannungswerte wurden mit einem Vielfachmeßgerät, dessen  $R_i = 25 \text{ k}\Omega/V$  betrug, gegen Masse gemessen.

**Achtung, die Schaltung liegt am Netzspannungspotential!**

Stellung von $S_2$	einstellbare Zeit	
	von	bis
1	1 sec	10 sec
2	10 sec	150 sec
3	150 sec	10 Min.

Lampe $La_1$	$U_1$ V	$U_2$ V	$U_3$ V	$U_4$ V	$U_5$ V
brennt	10,5	11,5	12	0,7	0
brennt nicht	0	0	0	0	12

#### Stückliste für einstellbaren Zeitgeber

- $Tri_1$  Triac TAG 261-600 o. ä. (Tabelle IV)
- $T_1, T_2, T_3, T_4$  Transistor BC 107 o. ä. (Tabelle I)
- $S_1$  Taster mit Arbeitskontakt
- $S_2$  Stufenschalter 1 Ebene, 1 x 3 Kontakte
- $C_1$  Erofokondensator 15 nF/63 V
- $C_2$  Elektrolytkondensator 2200  $\mu$ F/16 V
- $C_3$  Elektrolytkondensator 220  $\mu$ F/16 V
- $C_4$  Elektrolytkondensator 22  $\mu$ F/16 V
- D Siliziumdiode 1N914 o. ä. (Tabelle III)
- $La_1$  Glühlampe 220 V/ $P_{max} = 1700 \text{ W}$  (gilt für TAG 261-600)

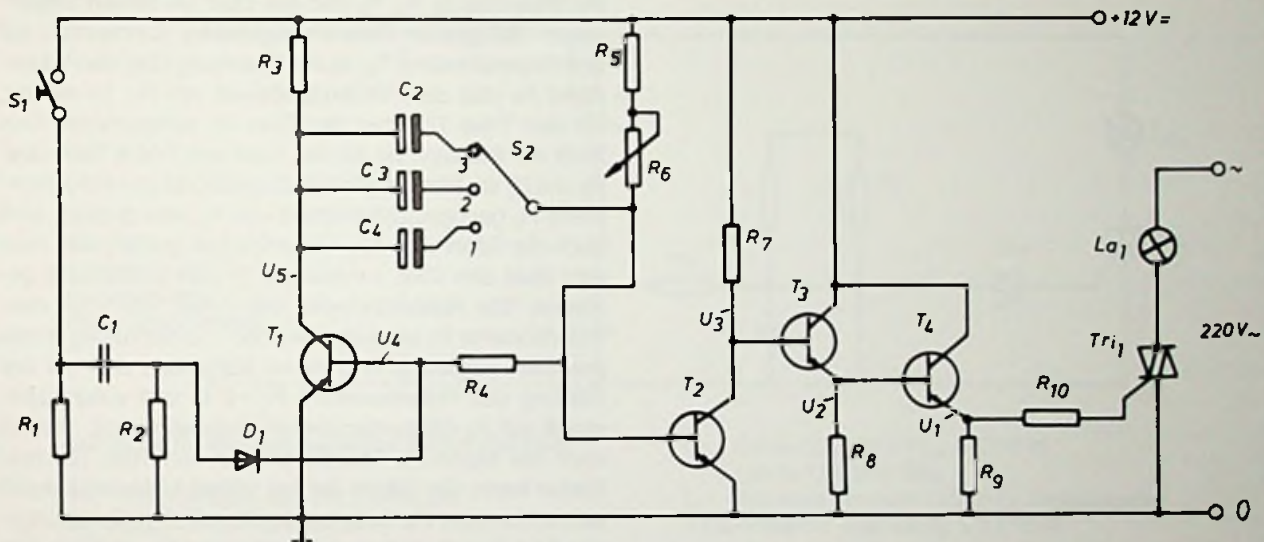


Bild 37 Schaltung des einstellbaren Zeitgebers

R <sub>1</sub>	Kohleschichtwiderstand	24 kΩ/¼ W/5%
R <sub>2</sub>	Kohleschichtwiderstand	180 kΩ/¼ W/5%
R <sub>3</sub>	Kohleschichtwiderstand	4,7 kΩ/¼ W/5%
R <sub>4</sub>	Kohleschichtwiderstand	150 kΩ/¼ W/5%
R <sub>5</sub>	Kohleschichtwiderstand	27 kΩ/¼ W/5%
R <sub>6</sub>	Potentiometer	500 kΩ lin

R <sub>7</sub>	Kohleschichtwiderstand	4,7 kΩ/¼ W/5%
R <sub>8</sub>	Kohleschichtwiderstand	22 kΩ/¼ W/5%
R <sub>9</sub>	Kohleschichtwiderstand	4,7 kΩ/¼ W/5%
R <sub>10</sub>	Kohleschichtwiderstand	300 kΩ/½ W/5%

1 Kühlkörper für Triac mit  $R_{th} = 2,5 \text{ °C/W}$

## 11. Automatischer Helligkeitsregler

In Bild 38 ist die Schaltung des automatischen Helligkeitseinstellers dargestellt. Mit dieser Schaltung wird die Helligkeit an einer Arbeitsstelle konstant gehalten. Dies läßt sich durch eine lichtstärkeabhängige Phasenanschnittsteuerung mittels eines Fotowiderstandes realisieren. Der Fotowiderstand ist im Steuerkreis des den Triac  $Tri_1$  triggernden Diacs  $Di_1$  angeordnet.

Das Gate des Triacs  $Tri_1$  erhält über das Potentiometer  $R_1$ , die Widerstände  $R_2$ ,  $R_3$  und den Diac  $Di_1$  seinen Steuerstrom. Bei großer Beleuchtungsstärke (Lichteinfall auf den Fotowiderstand  $R_5$ ) ist die Spannung über den Widerstand  $R_4$  plus dem Widerstandswert von  $R_5$ , zu niedrig, um den Triac  $Tri_1$  über den Diac  $Di_1$  aufzusteuern. Das heißt der Steuerstrom für das Gate des Triacs fließt über  $R_4$  und  $R_5$  ab. Wird der Helligkeitseinfall auf den Fotowiderstand  $R_5$  geringer (Widerstand von  $R_5$  wird größer), wird auch die Spannung des Steuerkreises größer, der Triac wird über den Diac zunehmend in den Leitzustand gesteuert. Die Ansprechschwelle des Triacs kann mit dem Potentiometer  $R_1$  eingestellt werden. Die Schaltung wurde praktisch aufgebaut und ist so ausgelegt, daß bei der Stellung des Potentiometers  $R_1 = 0 \Omega$  und voller Lichteinfall auf  $R_5$  (Widerstandswert niederohmig ca.  $100 \Omega$ ) noch der maximale Steuerstrom für den Triac ( $25 \text{ mA}$ ) fließen kann. Der Strom der bei vollem Lichteinfall durch den Widerstand  $R_5$  fließt, betrug  $32 \text{ mA}$ . Der Spannungsabfall an  $R_4 + R_5$  betrug dabei  $30 \text{ V}$ , bei  $I_G = 32 \text{ mA}$ . Die Messungen wurden mit einem Vielfachinstrument, dessen  $R_i = 25 \text{ k}\Omega/\text{V}$  betrug, durchgeführt.

Die bei dem Betrieb dieser Triacschaltung auftretenden Störungen werden durch das LC-Glied, bestehend aus  $L_1$  und  $C_1$  und dem Kondensator  $C_3$  weitgehend unterdrückt.

**Achtung, die Schaltung liegt am Netzspannungspotential!**

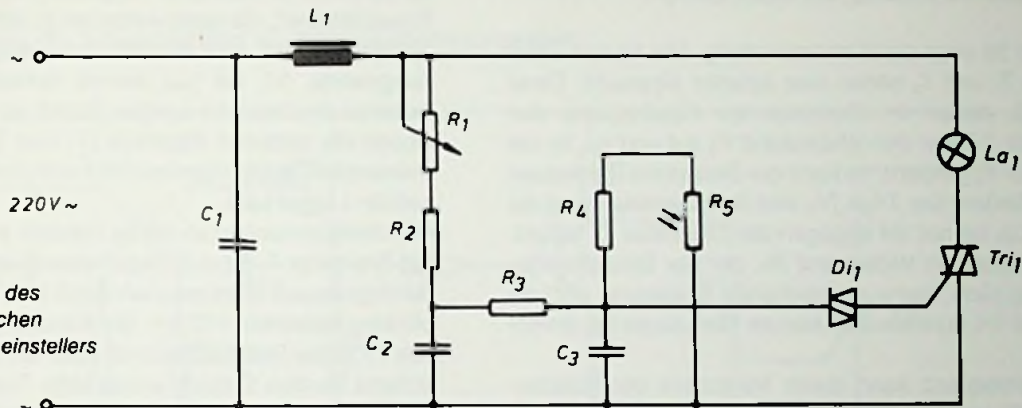


Bild 38  
Schaltung des  
automatischen  
Helligkeitseinstellers

#### Stückliste für den automatischen Helligkeitsregler

Tri <sub>1</sub>	Triac TAG 261-600 o. ä. Tabelle IV)
Di <sub>1</sub>	Diac A 9903 o. ä. (Tabelle V)
C <sub>1</sub>	Erofolkkondensator 0,1 µF/630 V
C <sub>2</sub>	Erofolkkondensator 0,1 µF/400 V
C <sub>3</sub>	Erofolkkondensator 0,22 µF/400 V
R <sub>1</sub>	Potentiometer 25 kΩ lin/1 W
R <sub>2</sub>	Hochlastwiderstand 4,7 kΩ/5 W/5%
R <sub>3</sub>	Kohleschichtwiderstand 1,0 kΩ/2 W/5%
R <sub>4</sub>	Kohleschichtwiderstand 470 Ω/0,5 W/5%
R <sub>5</sub>	Fotowiderstand RPY 30 o. ä. (z. B. LDR 07, LDR 03, LDR 05, ORP 12)

La <sub>1</sub>	Glühlampe 220 V/P <sub>max</sub> = 1700 W (gilt für TAG 261-600)
L <sub>1</sub>	Spule mit Ferritkern 150 µH (s. Wickelangabe) 1 Kühlkörper für Triac mit R <sub>th</sub> ≤ 2,5 °C/W

#### Wickelangabe für L<sub>1</sub>

Ein Ferrit-Antennenstab mit etwa 10 cm Länge wird mit CuL-Draht (Kupferlackdraht) 1,5 mm Ø vollständig bewickelt (Drahtlänge ca. 4,5 m).

## 12. Blinkerschaltung mit einer Lampe

Das Bild 39 zeigt die Blinkerschaltung. Die beiden Transistoren  $T_1$  und  $T_2$  bilden eine astabile Kippstufe. Diese Kippstufe steuert im Rhythmus der Kippfrequenz den Transistor  $T_3$  über den Widerstand  $R_5$  auf und zu. Ist der Transistor  $T_3$  gesperrt, so kann der Gatestrom (gemessen 27 mA) fließen. Der Triac  $Tri_1$  wird durchgesteuert und die Lampe  $La_1$  brennt. Ist dagegen der Transistor  $T_3$  leitend, so liegt über den Widerstand  $R_7$ , der der Gatestrombegrenzung dient, keine ausreichende Steuerung vor, die den Triac  $Tri_1$  durchsteuern könnte. Die Lampe  $La_1$  brennt nicht.

Die Blinkfrequenz kann durch Verändern der Kondensatoren  $C_1$  und  $C_2$  variiert werden. Die Schaltung wurde praktisch aufgebaut. Die Spannungen wurden mit einem Vielfachinstrument mit  $R_1 = 25 \text{ k}\Omega/\text{V}$  gegen Masse gemessen.

Im praktischen Aufbau wurden die Kondensatoren  $C_1$  und  $C_2$  mit je  $1 \mu\text{F}$  eingesetzt. Die Folge war eine sehr hohe Blinkfrequenz. Die Lampe  $La_1$  flackerte. Beim Einsetzen zweier Kondensatoren ( $C_1$  und  $C_2$ ) mit einem Kapazitätswert von je  $2 \mu\text{F}$  blinkte die Glühlampe  $La_1$  ca. alle 0,25 sec auf. Als nächstes wurde für  $C_1$  und  $C_2$  der Wert von  $10 \mu\text{F}$  je Kondensator eingesetzt. Jetzt blinkte die Glühlampe  $La_1$  ca. jede Sekunde einmal auf. Beim Einsetzen des Kapazitätswertes von  $50 \mu\text{F}$  blinkte die Glühlampe alle 5 sec und bei einem Kapazitätswert von  $100 \mu\text{F}$  alle 7 sec einmal auf.  $C_1$  und  $C_2$  sind bipolare Kondensatoren.

Es können z. B. auch zwei Tantalekos mit dem doppelten Kapazitätswert, die gegeneinander zu schalten sind, verwendet werden. Das Messen der angegebenen Spannungswerte ( $U_1$  bis  $U_3$ ) konnte zunächst nicht ohne weiteres durchgeführt werden. Durch das Hin- und Herkippen der astabilen Kippstufe ( $T_1$  und  $T_2$ ) waren die zu messenden Spannungen nur kurz vorhanden (kurze Blinkzeit der Lampe  $La_1$ ).

Um die Spannungen  $U_1$  bis  $U_3$  messen zu können wurde der Transistor  $T_1$  durch Anlegen einer positiven Spannung durchgesteuert. Dies geschah durch Herstellen einer Verbindung zwischen  $+12 \text{ V}$  der Schaltung und der Basis von  $T_1$ . Diese Drahtbrücke muß nach der Messung wieder entfernt werden. Danach wurde beim Transistor  $T_2$  in der eben beschriebenen Form genauso verfahren. Die folgende Tabelle gibt Aufschluß über das Meßergebnis.

Lampe $La_1$ brennt nicht				
Plusspannung an Basis $T_2$	$U_1$ (V)	$U_2$ (V)	$U_3$ (V)	$T_1$ gesperrt $T_2$ durchgesteuert $T_3$ durchgesteuert
	11,4	0	0,25	

Lampe $La_1$ brennt				
Plusspannung an Basis $T_1$	$U_1$ (V)	$U_2$ (V)	$U_3$ (V)	$T_1$ durchgesteuert $T_2$ gesperrt $T_3$ gesperrt
	0	11,4	4	

**Achtung, die Schaltung liegt am Netzspannungspotential!**

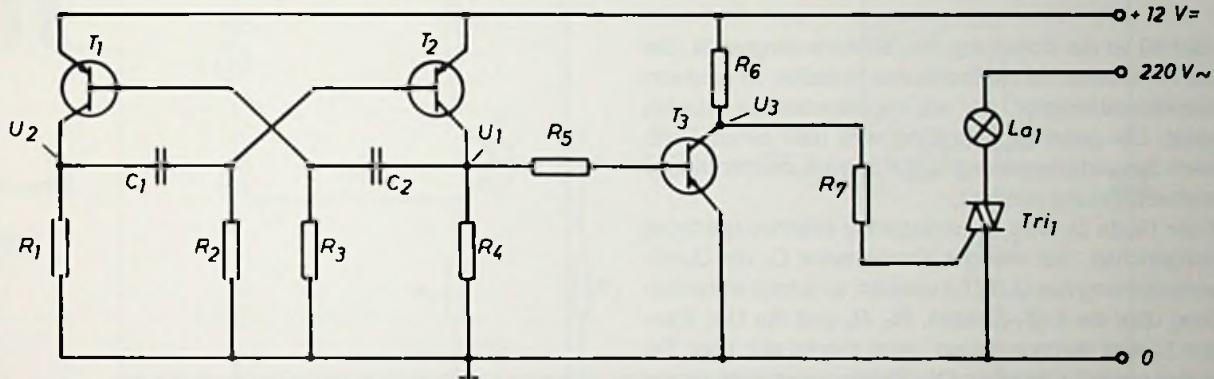


Bild 39 Blinkerschaltung mit einer Lampe

### Stückliste Blinkerschaltung

Tri<sub>1</sub> Triac TAG 261-600 o. ä. (Tabelle IV)  
 T<sub>1</sub>, T<sub>2</sub> Transistor BC 177 o. ä. (Tabelle II)  
 T<sub>3</sub> Transistor BC 107 o. ä. (Tabelle I)  
 R<sub>1</sub> Kohleschichtwiderstand 500 Ω/1/2 W/5%  
 R<sub>2</sub> Kohleschichtwiderstand 100 kΩ/1/4 W/5%  
 R<sub>3</sub> Kohleschichtwiderstand 100 kΩ/1/4 W/5%

R<sub>4</sub> Kohleschichtwiderstand 500 Ω/1/2 W/5%  
 R<sub>5</sub> Kohleschichtwiderstand 10 kΩ/1/4 W/5%  
 R<sub>6</sub> Kohleschichtwiderstand 270 Ω/1/2 W/5%  
 R<sub>7</sub> Kohleschichtwiderstand 100 Ω/1/4 W/5%  
 C<sub>1</sub>, C<sub>2</sub> Bipolarer Kondensator (s. Text) oder zwei Tantal mit  
 doppeltem Wert gegeneinander geschaltet  
 La<sub>1</sub> Lampe 220 V/P<sub>max</sub> = 1700 W (gilt für TAG 261-600)  
 1 Kühlkörper für Triac mit R<sub>th</sub> ≤ 2,5 °C/W

### 13. Blinkerschaltung mit Unijunktionstransistor

In Bild 40 ist die Schaltung des Blinkers dargestellt. Der Triac  $Tri_1$  arbeitet als elektronischer Schalter. Er wird vom Unijunktionstransistor, der als Impulsgenerator arbeitet, betätigt. Die gesamte Schaltung wird über einen Trafo, dessen Sekundärspannung 12,6 V beträgt, mit der nötigen Betriebsspannung versorgt.

Mit der Diode  $D_1$  wird die anliegende Wechselspannung gleichgerichtet. Hat nun der Kondensator  $C_1$  die Durchbruchspannung des UJT ( $T_2$ ) erreicht, so erfolgt seine Entladung über die E-B<sub>1</sub>-Strecke,  $R_5$ ,  $R_4$  und  $R_3$ . Der Transistor  $T_1$  wird durchgesteuert. Jetzt zündet der Triac  $Tri_1$  und die Lampe  $La_1$  leuchtet. Die Blinkfrequenz wird von der Zeitkonstanten  $R_6$ ,  $R_7$  und  $C_1$  bestimmt. Mit dem Potentiometer  $R_7$  wird die Blinkfrequenz, mit dem Trimpotentiometer  $R_5$  die Leuchtdauer der Lampe  $La_1$  bestimmt. Alle angegebenen Spannungen wurden mit einem Voltmeter, dessen  $R_i = 25 \text{ k}\Omega/\text{V}$  betrug, gegen Masse gemessen. Es sind dies die folgenden Spannungswerte:

$U_1$  (V): 0,2... 1,5 V

$U_2$  (V): 1... 2,2 V je nach Stellung des Potentiometers  $R_7$

$U_3$  (V): 5,6... 15 V

*Bild 40  
Blinkerschaltung  
mit  
Unijunktions-  
Transistor*

**Wickelangabe für den Netztransformator  $Tr_1$**

Primärspannung: 220 V

Sekundärspannung: 12,6 V

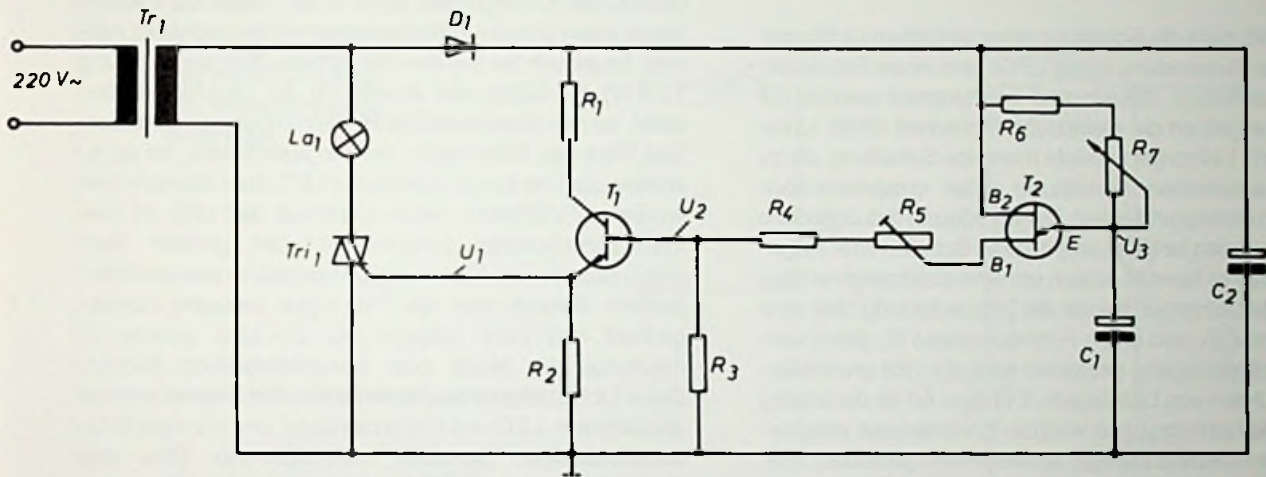
Kern nach DIN: M 65/27

Primärwicklung: 1700 Wdg., CuL-Draht 0,2 mm  $\varnothing$ ,

Drahtlänge ca. 213 m

Sekundärwicklung: 97 Wdg., CuL-Draht 0,8 mm  $\varnothing$ ,

Drahtlänge ca. 16 m



### Stückliste für die Blinkerschaltung mit UJT

Tri <sub>1</sub>	Triac TAG 261-600 o. ä. (Tabelle IV)
T <sub>1</sub>	Transistor BC 107 o. ä. (Tabelle I)
T <sub>2</sub>	Unijunktions transistor 2 N 2646
D <sub>1</sub>	Siliziumdiode 1 N 4002 o. ä. (z. B. BYX 36/300, BTX 18/200)
La <sub>1</sub>	Glühlampe 12 V/P <sub>max</sub> = 12 W
C <sub>1</sub>	Elektrolytkondensator 2,2 µF/16 V Tantal
C <sub>2</sub>	Elektrolytkondensator 1000 µF/25 V

R <sub>1</sub>	Kohleschichtwiderstand 470 Ω/½ W/5%
R <sub>2</sub>	Kohleschichtwiderstand 2,2 kΩ/¼ W/5%
R <sub>3</sub>	Kohleschichtwiderstand 470 Ω/¼ W/5%
R <sub>4</sub>	Kohleschichtwiderstand 100 Ω/¼ W/5%
R <sub>5</sub>	Trimpoti 2 kΩ lin
R <sub>6</sub>	Kohleschichtwiderstand 1 kΩ/¼ W/5%
R <sub>7</sub>	Potentiometer 47 kΩ lin
1 Kühlkörper für Triac mit R <sub>th</sub> ≤ 2,5 °C/W	
Tr <sub>1</sub>	Netztransformator Primär: 220 V/Sekundär: 12,6 V (s. Wickelangabe)

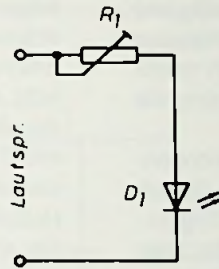
## 14. Einfache Lichtorgel

Das Bild 41 zeigt die Schaltung einer einfachen Lichtorgel. Durch die Verwendung eines LEDs und eines Fotowiderstandes zwischen Steuer- und Leistungsteil werden die Anforderungen an die elektrische Sicherheit erfüllt. Unter dem Begriff Lichtorgel versteht man eine Schaltung, die zu einer musikalischen Darbietung einen entsprechenden optischen Untergrund liefert. Zur Erzeugung des optischen Effektes werden farbige Lampen oder Scheinwerfer eingesetzt. In Bild 44 handelt es sich um eine einkanalige analog arbeitende Lichtorgel, bei der die Triacschaltung über eine Leuchtdiode  $D_1$  und einen Fotowiderstand  $R_2$  direkt vom Lautsprecherausgang gesteuert wird. Es gibt grundsätzlich zwei Arten von Lichtorgeln. Die eine Art ist die analog arbeitende Lichtorgel. Hier wird die Lichtintensität entsprechend dem Lautstärkepegel kontinuierlich gesteuert, d. h. zwischen hell und dunkel sind beliebig viele Lichtwerte möglich. Bei der digitalen Lichtorgel bleibt die Lampe nach Überschreiten eines bestimmten Lautstärkewertes für eine bestimmte (einstellbare) Zeitdauer mit konstanter Stärke eingeschaltet. Eine dritte Variante ist die hybride Lichtorgel. Hier wird die Lichtquelle beim Überschreiten eines Lautstärkeschwellwertes konstant eingeschaltet, sie verlischt jedoch erst wieder, wenn die Lautstärke unter den Schwellwert sinkt.

Bei der Schaltung nach Bild 44 wird die Leuchtdiode parallel über  $R_1$  zum Lautsprecher geschaltet. Die LED

benötigt eine Spannung von 2 V und einen Strom von 20 mA. Bei Koffergeräten kann in der Regel die Leuchtdiode direkt parallel zum Lautsprecher angeschaltet werden. Da jedoch bei Geräten mit höherer Ausgangsleistung ( $> 4 \text{ W}$ ) die Gefahr der Zerstörung der Leuchtdiode besteht, ist der Vorwiderstand  $R_1$  (Trimpoti) einzusetzen. Der Wert des Trimpotis, der eingestellt wird, ist so zu wählen, daß die Maximalwerte der LED nicht überschritten werden (2 V/20 mA). Nach Anschluß der LED ist das Trimpotentiometer zunächst auf den größten Wert (1 k $\Omega$ ) einzustellen. Dann wird die Lautstärke am Gerät eingestellt. Danach wird das Trimpoti langsam zurückgedreht und zwar solange, bis die LED gerade im Rhythmus der Musik oder Sprachdarbietung flackert. Diese Lichtstärke ist ausreichend um den Fotowiderstand anzusteuern. LED und Fotowiderstand sind in einem lichtundurchlässigen Gehäuse unterzubringen. Über den Fotowiderstand  $R_2$  wird dann das Gate des Triacs über den Diac entsprechend gesteuert. Die Schaltung ist so ausgelegt, daß der verwendete Triac-Typ auch an der oberen Zündstromgrenze liegen kann (25 mA). Mit dem Potentiometer  $R_3$  kann noch der Hell- und Dunkelbereich, in dem die Lampe  $La_1$  im Rhythmus der Musik flackern soll, eingestellt werden. Der verwendete Fotowiderstand vom Typ LDR 07 besitzt eine maximale Leistung von 200 mW. An ihm fällt eine Spannung von 4,6 V ab. Der Strom durch  $R_2$  wurde zu 30 mA gemessen. Die an  $R_2$  abfallende Leistung ist dann  $P = U \times I = 4,6 \times 0,03 = 0,138 \text{ W} = 138 \text{ mW}$ . Der Typ ist somit ausreichend.

**Achtung, ein Teil  
der Schaltung liegt  
am Netzspannungs-  
potential!**



#### Stückliste für die einfache Lichtorgel

- |   |   |
|---|---|
| Tri <sub>1</sub>                                      | Triac TAG 261-600 o. ä. (Tabelle IV)                                |
| Di <sub>1</sub>                                       | Diac A 9903 o. ä. (Tabelle V)                                       |
| R <sub>1</sub>  | Trimpoti 1 kΩ lin   |
| R <sub>2</sub>  | Fotowiderstand LDR 07 o. ä. (z. B. LDR 03, LDR 05, ORP 12, RPY 30)  |
| R <sub>3</sub>  | Potentiometer 47 kΩ lin   |
| R <sub>4</sub>  | Hochlastwiderstand 6,8 kΩ/7 W/5%                                    |
| C <sub>1</sub>  | Erofolkkondensator 0,47 μF/400 V                                    |
| La <sub>1</sub>                                       | Glühlampe 220 V/P <sub>max</sub> = 1700 W<br>(gilt für TAG 261-600) |
| 1 Kühlkörper für Triac mit R <sub>th</sub> ≤ 2,5 °C/W |   |
| Di <sub>1</sub>                                       | Leuchtdiode 2 V, 20...30 mA   |

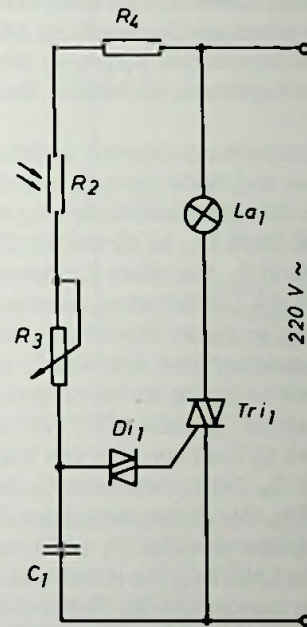


Bild 41 Schaltung der einfachen Lichtorgel

## 15. Elektrisches Kaminfeuer

Ein natürliches Kaminfeuer ist doch recht aufwendig und bedarf einer ständigen Überwachung. Mittels Glühlampen und einer elektronischen Schaltung läßt sich ein relativ realistisches Kaminfeuer nachbilden. Das Bild 42 zeigt die Schaltung.

Wird die Netzspannung angelegt, so lädt sich der Kondensator  $C_1$  über den Widerstand  $R_2$  und die Diode  $D_1$  auf. Erreicht nun die Kondensatorspannung an  $C_1$  die Triggerschwelle des Diacs  $Di_1$ , so zündet der Thyristor  $Th_1$  über den Widerstand  $R_1$ . Der obere Zündstrom des Thyristors  $Th_1$  beträgt 5 mA. Die Schaltung ist so ausgelegt, daß der Thyristor, falls er an der oberen Zündstromgrenze liegt, noch sicher durchschaltet. Nun wird  $C_2$  aufgeladen. Beim folgenden Nulldurchgang der Netzspannung wird der Thyristor  $Th_1$  wieder gelöscht. Ein Teil der Ladung des Kondensators  $C_2$  fließt nun über den Widerstand  $R_3$  zum Kondensator  $C_3$ . Der Kondensator  $C_3$  liegt im Zündkreis des Triacs  $Tri_1$ . Der Phasenwinkel der Zündimpulse, die der Triac  $Tri_1$  über den Diac  $Di_2$  erhält, verändert sich mit zunehmender Entladung des Kondensators  $C_2$ . Die Folge davon ist ein unregelmäßiges Flackern der im Ladekreis des Triacs liegenden Glühlampe  $La_1$ . Der gesamte Vorgang wiederholt sich, wenn die Spannung an  $C_1$  erneut die Triggerschwelle des Diacs  $Di_1$  erreicht. Um ein sicheres Zünden des Triacs zu gewährleisten (oberer Zündstrom nach dem Datenblatt 25 mA), wurde die Schaltung so dimensioniert, daß dieser Zündstrom im Bedarfsfall auch

sicher fließen kann. Die maximale Lampenleistung darf beim eingesetzten Triac-Typ (TGA 261-600) 1700 W betragen. Der Triac ist auf einen Kühlkörper mit einem Wärmewiderstand von  $R_{th} = 2,5^\circ\text{C}/\text{W}$  zu montieren. Durch Erhöhen der Kapazität von  $C_1$  wird der Flackereffekt erhöht. Im praktischen Aufbau wurde für den Elektrolytkondensator  $C_1$  der Wert von 1500  $\mu\text{F}$  eingesetzt. Der Flackereffekt reichte dann (im Gegensatz zu  $C_1 = 500 \mu\text{F}$ ) vom Glimmen des Glühfadens der Lampe bis hin zur vollen Helligkeit der Lampe.

Die angegebenen Spannungen wurden mit einem Vielfachinstrument gemessen, dessen  $R_i = 25 \text{ k}\Omega/\text{V}$  betrug. Der Strom durch den Widerstand  $R_i$  wurde zu 3,5...5 mA und der Strom durch  $R_3$  zu 11...25 mA, je nach Flackerzustand der Lampe  $La_1$ , gemessen. Am Kondensator  $C_2$  wurde eine Spannung von 230 V gemessen, an  $C_1$  jedoch 35 V. Der Gatestrom des Thyristors betrug 5 mA.

**Achtung, die Schaltung liegt am Netzspannungspotential!**

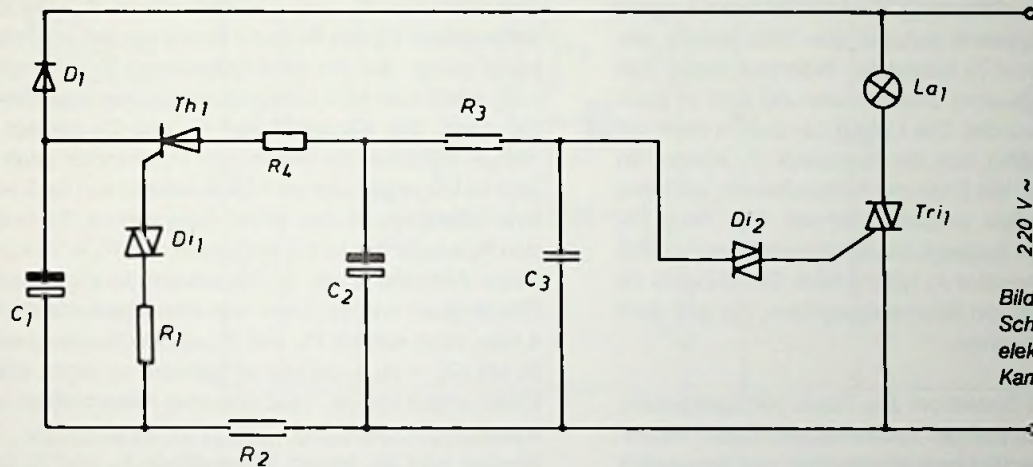


Bild 42  
Schaltung des  
elektronischen  
Kaminfeuers

#### Stückliste für das elektrische Kaminfeuer

Tri<sub>1</sub> Triac TAG 261-600 o. ä. (Tabelle IV)  
 Th<sub>1</sub> Thyristor TAG 614-800 o. ä. (z. B. BRX 43,  
 TAG 06-400, TAG 511-600, TAG 512-600)  
 D<sub>1</sub>, D<sub>2</sub> Diac A 9903 o. ä. (Tabelle V)  
 D<sub>1</sub> Siliziumdiode 1N4005 o. ä. (z. B. BYX 36/600)  
 La<sub>1</sub> Glühlampe 220 V/P<sub>max</sub> = 1700 W  
 (gilt für TAG 261-600)

C<sub>1</sub> Elektrolytkondensator 500 µF/50 V (andere  
 Werte siehe Text)  
 C<sub>2</sub> Elektrolytkondensator 10 µF/350 V  
 C<sub>3</sub> Erolfokondensator 4,7 nF/100 V  
 R<sub>1</sub> Kohleschichtwiderstand 150 Ω/¼ W/5%  
 R<sub>2</sub> Kohleschichtwiderstand 27 kΩ/1 W/5%  
 R<sub>3</sub> Hochlastwiderstand 6,8 kΩ/5 W/5%  
 R<sub>4</sub> Kohleschichtwiderstand 100 Ω/½ W  
 1 Kühlkörper für Triac mit R<sub>th</sub> ≤ 2,5 °C/W

## 16. Netzbetriebene Blinkerschaltung

Das Bild 43 zeigt die Schaltung. Ein Triac in Verbindung mit einer astabilen Kippstufe schaltet den Triac jeweils ein, wenn der Transistor  $T_2$  leitend ist. Während dieser Zeit erhält der Triac dauernd Steuerstrom und wird in jeder Netzhalbperiode gezündet. Die Lampe  $La_1$  brennt dann mit voller Helligkeit. Wird nun der Transistor  $T_1$  leitend, so löscht der Triac  $Tri_1$  am Ende der Netzhalbperiode, während welcher die Kippstufe umgeschaltet hat. Der Triac  $Tri_1$  bleibt dann solange gesperrt, bis die Kippstufe umschaltet und damit der Transistor  $T_2$  leitend wird. Die Z-Diode  $D_3$  dient zur Ableitung von Spannungsspitzen, die aus dem Netz herkommen können.

Wird der fließende Gatestrom des Triacs nachgemessen, so ist zu beachten, daß der Gatestrom im Rhythmus der Blinkfrequenz zwischen zwei Werten hin- und herpendelt (Meßwert: 3,5...4,5 mA). Dieser Meßwert ist auf die Tragheit des Meßinstrumentes zurückzuführen. Um den maximalen Gatestrom (25 mA) zu messen, wurde über die Diode  $D_4$  der Basis von  $T_2$  direkt positives Spannungspotential zugeführt. Die Blinkfrequenz betrug bei Verwendung von zwei Elkos mit je 50  $\mu$ F für  $C_2$  und  $C_3$  je nach Potentiometereinstellung des Potis  $R_2$  1...1,5 Hz. Bei Verwendung von zwei Elkos mit je 100  $\mu$ F für  $C_2$  und  $C_3$  betrug die Blinkfrequenz 2...3 Hz.

Diese Schaltung kann auch zur Veränderung der von einem Heizkörper (z. B. LötKolben), aufgenommenen Lei-

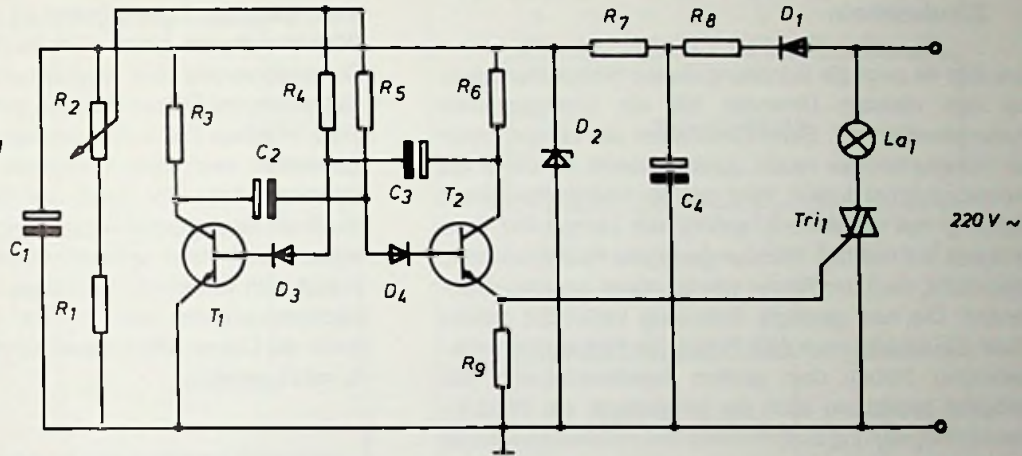
stung dienen. Soll die Schaltung für diesen Zweck eingesetzt werden, so entfällt der Elektrolytkondensator  $C_1$ , das Potentiometer  $R_2$  und der Widerstand  $R_1$ . Die beiden Widerstände  $R_4$  und  $R_5$  (je zu 15 k $\Omega$ ) werden an Plusspannung gelegt. Bei der so angegebenen Schaltungsänderung erhält man eine Einschaltzeit für den Heizkörper von ca. 1 sec. Die Kapazität von  $C_2$  und  $C_3$  beträgt dabei 100  $\mu$ F. Wird nun der Widerstand  $R_4$  geändert (statt 15 k $\Omega$  jetzt 56 k $\Omega$ , ergibt sich eine Einschaltzeit von ca. 2 sec und eine Ausschaltzeit des Heizkörpers von ca. 1,5 sec. Wird nun  $R_4$  wieder mit 15 k $\Omega$  eingesetzt und  $R_5 = 15$  k $\Omega$  durch einen Widerstand von 56 k $\Omega$  ersetzt, so ergibt sich eine Einschaltzeit von ca. 1 sec und eine Abschaltzeit von ca. 4 sec. Wird nun für  $R_4$  und  $R_5$  ein Widerstandswert von 56 k $\Omega$  ( $R_4 = R_5 = 56$  k $\Omega$ ) eingesetzt, so ergibt sich eine Einschaltzeit von ca. 1 sec und eine Ausschaltzeit von ca. 3 sec.

Werden jetzt die beiden Widerstände  $R_4$  und  $R_5$  und die beiden Dioden  $D_3$  und  $D_4$  weggelassen, so ergibt sich eine Einschaltzeit des Heizkörpers von ca. 2 sec und eine Ausschaltzeit von ca. 3 sec.

Bei dem verwendeten Triac-Typ TGA 261-600 darf der Verbraucher eine Leistung bis zu 1700 W besitzen.

**Achtung, die Schaltung liegt am Netzspannungspotential!**

Bild 43  
Schaltung der  
netzbetriebenen  
Blinkerschaltung



#### Stückliste für die netzbetriebene Blinkerschaltung

Tri <sub>1</sub>	Triac TAG 261-600 o. ä. (Tabelle IV)
D <sub>1</sub>	Siliziumdiode 1N4007 o. ä. (z. B. BYX 36/600)
D <sub>2</sub>	Z-Diode ZPD 18 o. ä. (z. B. ZP 18, ZF 18)
D <sub>3</sub> , D <sub>4</sub>	Siliziumdiode BA 170 o. ä. (Tabelle III)
T <sub>1</sub> , T <sub>2</sub>	Transistor BC 107 o. ä. (Tabelle I)
C <sub>1</sub>	Elektrolytkondensator 250 µF/25 V
C <sub>2</sub>	Elektrolytkondensator 50 µF/25 V (andere Werte siehe Text)
C <sub>3</sub>	Elektrolytkondensator 50 µF/25 V
C <sub>4</sub>	Elektrolytkondensator 100 µF/100 V
R <sub>1</sub>	Kohleschichtwiderstand 2,2 kΩ/¼ W/5%

R <sub>2</sub>	Potentiometer	2,5 kΩ lin
R <sub>3</sub>	Kohleschichtwiderstand	470 Ω/1 W/5%
R <sub>4</sub>	Kohleschichtwiderstand	15 kΩ/¼ W/5% (andere Werte siehe Text)
R <sub>5</sub>	Kohleschichtwiderstand	15 kΩ/¼ W/5% (andere Werte siehe Text)
R <sub>6</sub>	Kohleschichtwiderstand	470 Ω/1 W/5%
R <sub>7</sub>	Kohleschichtwiderstand	1 kΩ/1 W/5%
R <sub>8</sub>	Hochlastwiderstand	2,7 kΩ/¼ W/5%
R <sub>9</sub>	Kohleschichtwiderstand	2,2 kΩ/¼ W/5%
La <sub>1</sub>	Glühlampe 220 V/P <sub>max</sub> = 1700 W (gilt für TAG 261-600)	
	1 Kühlkörper für Triac mit R <sub>th</sub> ≤ 2,5 °C/W	

## 17. Helligkeitsregelung bei verschiedenen Zündwinkeln

Das Bild 44 zeigt die Schaltung dieses Helligkeitsreglers. Bei den meisten Dimmern tritt ein unangenehmer Hystereseeffekt auf. Beim Einschalten der Lampe, wenn der Helligkeitsregler relativ dunkel gestellt ist, bleibt die Lampe zunächst dunkel. Wird nun der Helligkeitsregler in Richtung hell aufgedreht, springt die Lampe mit ihrer Helligkeit auf halbhell. Werden geringere Helligkeitswerte gewünscht, muß der Regler wieder etwas zurückgedreht werden. Die hier gezeigte Schaltung vermeidet diesen Effekt. Sie arbeitet nach dem Prinzip der Phasenanschnittsteuerung. Neben dem großen Aussteuerbereich der Helligkeit besitzt sie auch die Möglichkeit, die Phasenanschnittsspannung zu symmetrieren und ohne Hysterese zu steuern.

Alle Spannungen sind gegen Masse mit einem Vielfachinstrument, dessen Innenwiderstand  $25 \text{ k}\Omega/\text{V}$  betrug, gemessen. Die gemessenen Werte sind Wechselspannungs- und -stromwerte. Für die Wechselspannung  $U_3$  ergab sich ein Meßwert zwischen  $12 \dots 31 \text{ V}$ , je nach Stellung des Potentiometers  $R_3$ . Der Wechselstrom  $I_3$  wurde zu  $0,45 \dots 30 \text{ mA}$  gemessen, je nachdem, wie das Potentiometer  $R_3$  eingestellt wurde. Damit der Strom  $I_1 = I_2$  wird, müssen die Widerstände  $R_4$  und  $R_5$  gleich groß sein. Die Schaltung wurde mit 10%igen Widerständen aufgebaut und hat ganz gute Ergebnisse

gebracht. Die maximalen Meßwerte für  $U_3$  und  $I_3$  erhält man, wenn das Potentiometer so eingestellt ist, daß sein Widerstandswert gleich Null ist. Bei der angegebenen Dimensionierung der Bauelemente wurde der größte Gatestrom des Triacs mit  $30 \text{ mA}$  gemessen. Damit wird der Triac in jedem Fall sicher durchgeschaltet, da der obere Zündstrom nach dem Datenblatt bei  $25 \text{ mA}$  liegt. Der Hystereseeffekt, der durch den Spannungszusammenbruch am Kondensator  $C_1$  beim Zünden des Diacs  $D_1$  verursacht wird, kann unterdrückt werden, indem man  $C_1$  zwingt, sich vollständig zu entladen, auch dann, wenn die Kippspannung des Diacs  $D_1$  nicht erreicht wird. Dies wird durch die Dioden-Widerstand-Kombination  $D_1$  bis  $D_4$  und  $R_4$  mit  $R_5$  erreicht.

### Stückliste für die Helligkeitsregelung bei verschiedenen Zündwinkeln

Tri <sub>1</sub>	Triac TAG 261-600 o. ä. (Tabelle IV)
Di <sub>1</sub>	Diac A 9903 o. ä. (Tabelle V)
La <sub>1</sub>	Glühlampe 220 V/ $P_{\text{max}} = 1700 \text{ W}$ (gilt für TAG 261-600)
	1 Kühlkörper für Triac mit $R_{\text{th}} = 2,5 \text{ }^\circ\text{C/W}$
D <sub>1</sub> , D <sub>2</sub> ,	
D <sub>3</sub> , D <sub>4</sub>	Siliziumdiode 1N4005 o. ä. (z. B. BYX 36/600)
R <sub>1</sub>	Hochlastwiderstand $6,8 \text{ k}\Omega/7 \text{ W}/5\%$
R <sub>2</sub>	Kohleschichtwiderstand $100 \text{ k}\Omega/1/4 \text{ W}/5\%$

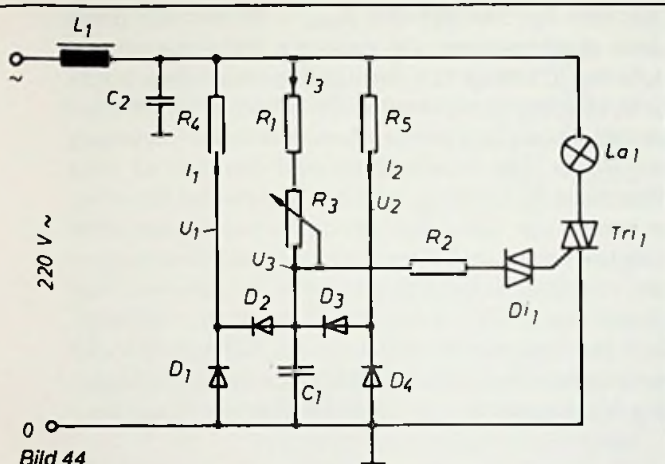


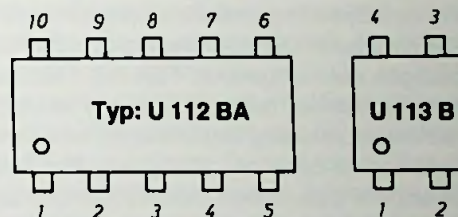
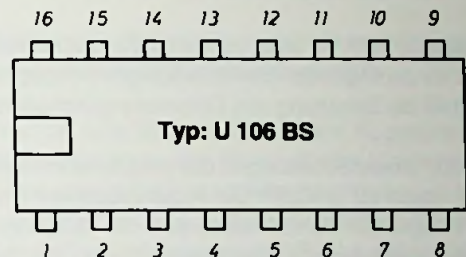
Bild 44

Schaltung der Helligkeitssteuerung bei verschiedenem Zündwinkel

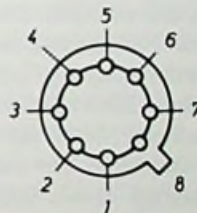
- |       |                        |                        |
|-------|------------------------|------------------------|
| $R_3$ | Potentiometer          | 500 k $\Omega$ lin/1 W |
| $R_4$ | Kohleschichtwiderstand | (Werte siehe Text)     |
| $R_5$ | Kohleschichtwiderstand | (Werte siehe Text)     |
| $C_1$ | Eroffkondensator       | 0,15 $\mu$ F/400 V     |
| $C_2$ | Eroffkondensator       | 0,1 $\mu$ F/630 V      |
| $L_1$ | Spule mit Ferritkern   | (nach Wickelangabe)    |

**Wickelangabe für  $L_1$ :**

Ein Ferrit-Antennenstab mit etwa 10 cm Länge wird mit CuL-Draht (Kupferlackdraht) 1,5 mm  $\varnothing$  vollständig bewickelt (Drahtlänge ca. 4,5 m).



**Typ: U 102 P**



Ansicht von oben

Bild 45  
Sockelschaltung der ICs  
für die folgenden  
drei Schaltungen

## 18. IC-Dämmerungsschalter

Das folgende Bild 45 zeigt zunächst die Sockelbeschriftung der für die folgenden drei Schaltungen benötigten ICs, das Bild 46 die Schaltung des Dämmerungsschalters.

Das „Herz“ dieser Schaltung ist der integrierte Fotowellenschalter vom Typ U 102 P. Die Anschlußpunkte 1 und 2 dieses integrierten Schaltkreises sind die Ausgänge, mit denen der nachfolgende Triac gesteuert wird. Der Punkt 2 ist dabei der invertierte Ausgang des Schaltkreises. Wenn an Punkt 1 eine Spannung ansteht, so ist am Punkt 2 keine Spannung vorhanden. Diese Aussage gilt auf die Punkte 1 und 2 bezogen auch umgekehrt. Fällt nun Licht auf den integrierten Schaltkreis (seine Oberfläche ist mit einer Glasschicht lichtdurchlässig verschlossen), so ist am Ausgang Punkt 1 keine Spannung vorhanden. Der Triac Tri<sub>1</sub> erhält an seinem Gate keinen Steuerstrom und schaltet nicht durch. Sobald die Glasfläche des ICs abgedunkelt wird, ist am Punkt 1 eine Spannung vorhanden und der Triac wird gezündet, die Lampe La<sub>1</sub> brennt damit. Dieser Vorgang erfolgt in genau umgekehrter Reihenfolge, wenn der Schalter S so umgelegt wird, daß der Ausgang Punkt 2 an das Gate des Triacs zu liegen kommt. Damit funktioniert diese Schaltung als Ein- oder Ausschalter, wenn auf der Glasfläche des ICs ein Lichteinfall stattfindet. Der maximale Gatestrom, der fließen darf, beträgt 70 mA. Das ist der Strom, der an den beiden Ausgängen Punkt 1 und 2 des ICs maximal zur Verfügung steht. Der verwendete

Triac vom Typ TAG 261-600 ( $I_{Gmax} = 25 \text{ mA}$ ) wird damit sicher durchgesteuert. Die maximale Betriebsspannung  $U_b$  für den IC beträgt 15 V. Beim praktischen Aufbau wurde für  $U_b$  eine Spannung von 8 V und eine von 12 V verwendet. Mit beiden Spannungen funktionierte die Schaltung einwandfrei. Die Einschaltbeleuchtungsstärke ist vom Widerstand  $R_1$  abhängig. Wird er weggelassen ( $R_1 = \infty$ ), so spricht der Dämmerungsschalter bereits bei einer Helligkeit von 5 Lux (lx) an. Wird für  $R_1$  ein Widerstandswert von 10 k $\Omega$  eingesetzt, so spricht der Dämmerungsschalter erst ab einer Beleuchtungsstärke von 3000 lx an. Nach der folgenden Formel kann der Widerstand  $R_1$  für verschiedene Beleuchtungsstärken, bei denen die Schaltung erst ansprechen soll, annähernd berechnet werden.

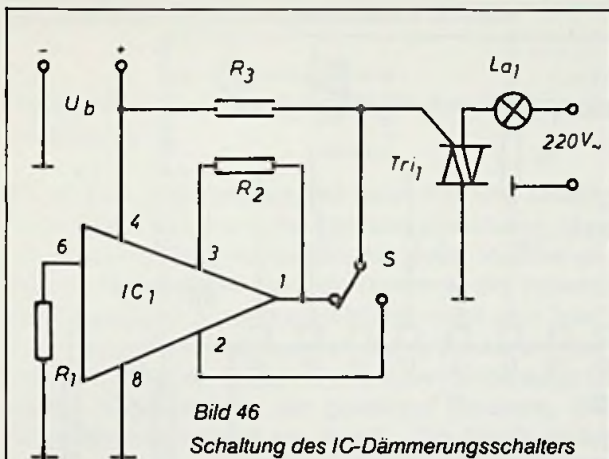
$$R_1 = \frac{25 \cdot U_b}{E_A - 8}$$

$R_1$  = Widerstandswert ergibt sich in M $\Omega$

$U_b$  = Versorgungsspannung des IC in V

$E_A$  = Beleuchtungsstärke, die auf den IC einfällt in lx

Der Widerstand  $R_2$  kann zwischen 10 k $\Omega$  und 47 k $\Omega$  liegen. Der Widerstand  $R_3$  wurde so dimensioniert, daß ein maximaler Gatestrom von 25 mA (wenn nötig) fließen kann.  $R_3$  beträgt bei einer Spannung von 8 V 200  $\Omega$  und bei 12 V 330  $\Omega$ .



#### Stückliste für den IC-Dämmerungsschalter

IC <sub>1</sub>	Integrierter Schaltkreis U 102 P
R <sub>1</sub>	Kohleschichtwiderstand 47 kΩ/¼ W
R <sub>2</sub>	Kohleschichtwiderstand 47 kΩ/¼ W
R <sub>3</sub>	Kohleschichtwiderstand 200 Ω/¼ W bei U <sub>b</sub> = 8 V und 330 Ω/¼ W bei U <sub>b</sub> = 12 V
S	Einpoliger Schalter
Tri <sub>1</sub>	Triac TAG 261-600 o. ä. (Tabelle IV)
La <sub>1</sub>	Glühlampe 220 V/100 W
U <sub>b</sub>	Spannungsquelle 8 oder 12 V

## 19. Überwachungsschaltung mit IC

In Bild 47 ist eine Überwachungsschaltung mit einem integrierten Nullspannungsschalter dargestellt.

Der Triac Tri<sub>1</sub> wird über den Widerstand R<sub>2</sub> gezündet. Dieser Widerstand ist an den Punkt 10 des ICs angeschlossen. Über diesen Punkt wird eine Spannung von 5 V und ein maximaler Strom von 250 mA geliefert. Es ist somit möglich, daß der im ungünstigsten Fall benötigte maximale Gatestrom von 25 mA fließen kann. Mit dem Potentiometer R<sub>5</sub> wird der Schwellwertbereich eingestellt. Ist nun das Potentiometer R<sub>5</sub> so eingestellt, daß der Schleifer am Punkt 8 des ICs anliegt (R<sub>5</sub> = 0 Ω), so beträgt die Spannung am Punkt 8 Null Volt. Wird R<sub>5</sub> so eingestellt, daß der gesamte Widerstandswert von 100 kΩ wirksam wird, so hat die Spannung am Punkt 8 einen Wert von 6 V. Weicht nun der Widerstand von R<sub>6</sub> (infolge von Lichteinfall auf den Fotowiderstand) von dem mit dem Potentiometer R<sub>5</sub> eingestellten Sollwert nach oben oder nach unten hin ab, so erhält der Triac Tri<sub>1</sub> Zündstrom und schaltet durch. Die Folge davon ist, daß nun die Lampe La<sub>1</sub> leuchtet. Verändert sich darauf der Widerstandswert R<sub>6</sub> soweit, daß er wieder dem mit R<sub>5</sub> eingestellten Sollwert entspricht, so erlischt die Lampe La<sub>1</sub> wieder. Mit dem Schalter S kann die gesamte Funktion der Schaltung außer Betrieb gesetzt werden. Der Strom, der durch den beleuchteten Fotowiderstand R<sub>6</sub> fließt, wurde zu 1 mA gemessen. Wird R<sub>6</sub> nicht beleuchtet, so fließt ein Strom von 0,4 mA.



## 20. Ein-Aus-Berührungsschalter mit ICs

Das Bild 48 zeigt die Schaltung des Ein-Aus-Berührungsschalters.

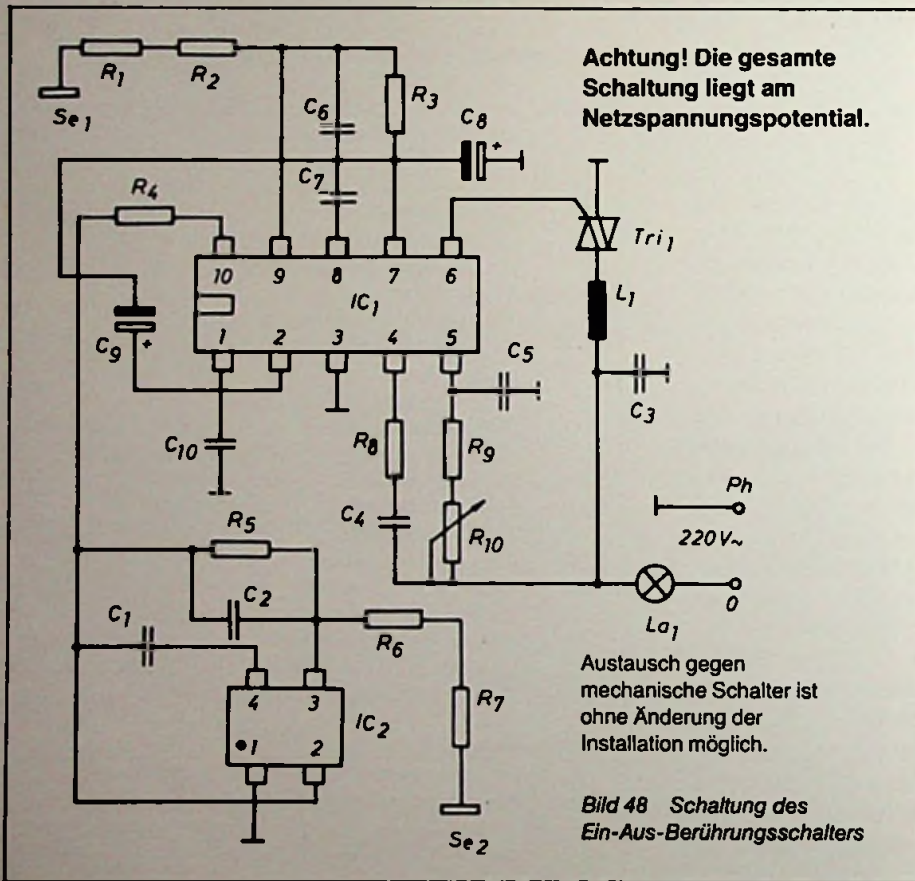
Mit diesem Berührungsschalter kann man von beliebig vielen Stellen aus eine Lampe ein- oder ausschalten. Über den Punkt 6 des IC<sub>1</sub> wird das Gate des Triacs Tri<sub>1</sub> direkt gesteuert. Dem Punkt 6 kann ein Gatestrom bis maximal 500 mA entnommen werden. Es können somit auch Triac-Typen verwendet werden, deren oberer Zündstrom noch höher als 25 mA ist. Die Spule L<sub>1</sub> und der Kondensator C<sub>3</sub> dienen der Entstörung der gesamten Schaltung. Die Grundsaltung besteht aus dem IC<sub>1</sub>. Der Schaltungsteil mit dem IC<sub>2</sub> stellt eine Fernbedienung dar. Es können beliebig viele Fernbedienungen über ein Installationskabel angeschlossen werden. Es werden nur zwei Drähte (einer ist die Masse, der andere geht auf den Widerstand R<sub>4</sub>) benötigt. Mit dem Potentiometer R<sub>10</sub> kann die Helligkeit der Lampe La<sub>1</sub> (zwischen Glimmen des Glühfadens bis zur vollen Helligkeit) eingestellt werden. Damit der Berührungskontakt (Sensor Se<sub>1</sub>) nicht zu empfindlich wird, (zur Vermeidung von Störungen) ist der Kondensator C<sub>7</sub> vorgesehen. Bei der Fernsteuerung (IC<sub>2</sub>) ist dies der Kondensator C<sub>1</sub>. Zu beachten ist, daß der Nulleiter über die Lampe La<sub>1</sub> angeschlossen wird, die Phase der Netzspannung dagegen entspricht der Masse. Nur so ist ein sicheres Arbeiten der Schaltung gewährleistet.

### Stückliste für Ein-Aus-Berührungsschalter mit IC

IC <sub>1</sub>	Integrierter Schaltkreis U 112 BA
IC <sub>2</sub>	Integrierter Schaltkreis U 113 B
Tri <sub>1</sub>	Triac TAG 261-600 o. ä. (Tabelle IV)
R <sub>1</sub> , R <sub>2</sub>	Kohleschichtwiderstand 4,7 MΩ/¼ W/5%
R <sub>3</sub>	Kohleschichtwiderstand 470 kΩ/¼ W/5%
R <sub>4</sub>	Kohleschichtwiderstand 120 kΩ/¼ W/5%
R <sub>5</sub>	Kohleschichtwiderstand 820 kΩ/¼ W/5%
R <sub>6</sub> , R <sub>7</sub>	Kohleschichtwiderstand 4,7 MΩ/¼ W/5%
R <sub>8</sub>	Kohleschichtwiderstand 33 kΩ/¼ W/5%
R <sub>9</sub>	Kohleschichtwiderstand 150 kΩ/¼ W/5%
R <sub>10</sub>	Potentiometer 2,2 MΩ lin
C <sub>1</sub>	Erofolkkondensator 0,15 µF/400 V
C <sub>2</sub>	Erofolkkondensator 4,7 nF/400 V
C <sub>3</sub> , C <sub>4</sub>	Erofolkkondensator 68 nF/630 V
C <sub>5</sub>	Erofolkkondensator 33 nF/400 V
C <sub>6</sub>	Erofolkkondensator 4,7 nF/400 V
C <sub>7</sub>	Erofolkkondensator 0,1 µF/400 V
C <sub>8</sub>	Elektrolytkondensator 22 µF/35 V
C <sub>9</sub>	Elektrolytkondensator 1 µF/35 V
C <sub>10</sub>	Erofolkkondensator 33 nF/400 V
L <sub>1</sub>	Spule nach Wickelangabe
La <sub>1</sub>	Glühlampe 220 V/100 W
S <sub>1</sub> , S <sub>2</sub>	Sensor (Metallplättchen 1 cm · 2 cm)

#### Wickelangabe für L<sub>1</sub>

Ein Ferrit-Antennenstab mit etwa 10 cm Länge wird mit CuL-Draht (Kupferlackdraht) 1,5 mm Ø vollständig bewickelt (Drahtlänge ca. 4,5 m).



**BIBLIOTHEEK**  
**N.V.H.R.**



ISBN 3-7724-0374-3

N  
C  
Bibliotheek Ned. Ver